

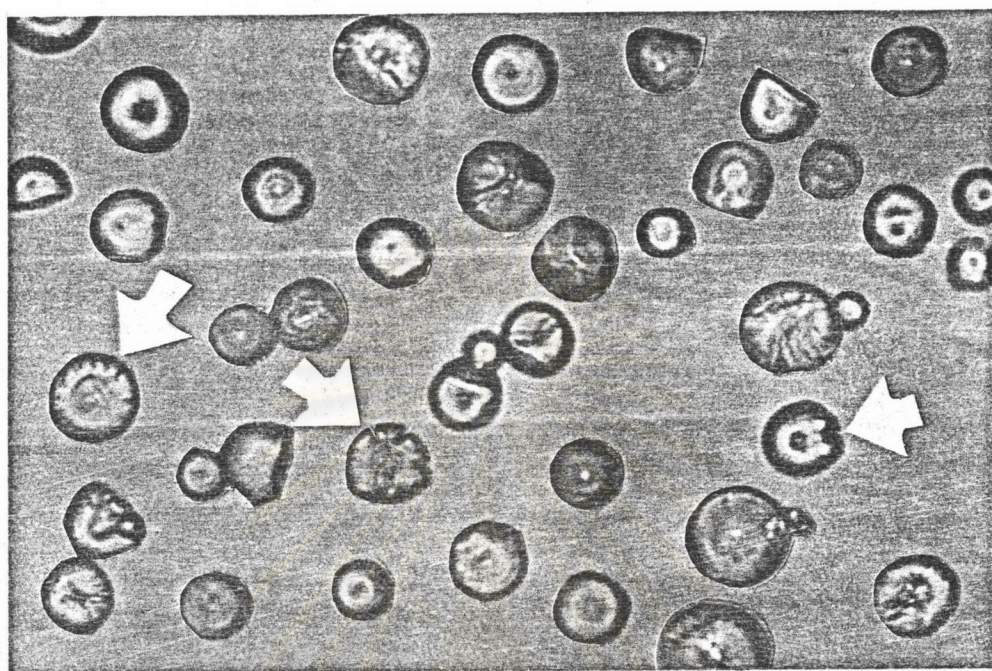


บทที่ 4

ผลการทดลองและวิจารณ์

4.1 แบ่งมันสำปะหลังธรรมชาติสำหรับใช้ศึกษาการดัดแปลงเครื่อง

ในการดัดเลือกแบ่งมันสำปะหลังธรรมชาติสำหรับใช้ศึกษาการดัดแปลงด้วยวิธีทางเคมี ได้ตรวจสอบความสมบูรณ์ของเม็ดแบ่งโดยผู้เชี่ยวชาญแต่ก็ปรากฏผิวของตัวอย่าง เม็ด แบ่งมันสำปะหลังธรรมชาติที่สุ่มจากแหล่งต่างๆจำนวน 6 ตัวอย่าง ซึ่ง 4 ตัวอย่าง สุ่มจากแบ่งที่ มีจำหน่ายอยู่ที่ว่าไป ได้แก่ แบ่งมันสำปะหลังตราเอส.อาร์., ตราโกรส์, ตราปลา้มั่งกร และ ตรามงคล กุญแจ ส่วนอีก 2 ตัวอย่าง มาจากแหล่งผลิตโดยตรง ได้แก่ แบ่งมันสำปะหลังของบริษัทไทย ธรรมงกุญแจ ร่วมกับ มหาวิทยาลัยเชียงใหม่ โดยในภาพถ่ายของเม็ดแบ่งมันสำปะหลังธรรมชาติที่บันทึกด้วยกล้อง ถ่ายรูปที่ติดอยู่บนเครื่อง Differential Interference Contrast ขนาดกำลังขยาย 400 เท่า (รูปที่ 4.1) พบว่า ในพื้นที่ของแต่ละภาพมีเม็ดแบ่งมันสำปะหลังธรรมชาติทึ้งหมดจำนวน 21-48 หน่วย การเปรียบเทียบความสมบูรณ์ของเม็ดแบ่งจากแหล่งต่างๆนั้นจะคิดเป็นจำนวนร้อยละของปริมาณเม็ดแบ่งที่ไม่มีรอยแตกปรากฏผิวต่อพื้นที่ 1 ภาพ (ตารางที่ 4.1) เมื่อวิเคราะห์ ความประปวนทางสถิติแบบสุ่มตลอด ทำให้ทราบว่า ตัวอย่างแบ่งมันสำปะหลังธรรมชาติที่มาจากการ แหล่งต่างๆมีปริมาณเม็ดแบ่งที่ไม่มีรอยแตกปรากฏผิวในพื้นที่แต่ละภาพไม่แตกต่างกันอย่างมีนัย สำคัญทางสถิติ (ที่ระดับความเชื่อมั่น ร้อยละ 95) (ภาคผนวก ข ตารางที่ 1) ดังนั้นความแตกต่างระหว่างแหล่งของแบ่งมันสำปะหลังธรรมชาติจึงไม่น่ามีผลต่อการศึกษาการดัดแปลงด้วยวิธีทางเคมีในขั้นตอนนี้ และการวิจัยนี้เลือกใช้แบ่งมันสำปะหลังธรรมชาติที่ได้รับເเร้อເដືອຈາກบริษัท ไทยฯ เป็นวัตถุที่สำหรับใช้ศึกษาการดัดแปลงแบ่ง



รูปที่ 4.1 เม็ดแบ่งมันลำปะหลังธรรมชาติ (ขนาดกำลังขยาย 400 เท่า)

หมายเหตุ ตำแหน่งลูกศร คือ เม็ดแบ่งที่ปรากฏรอยแตกบนผิว

ศูนย์วิทยทรัพยากร
จุฬาลงกรณ์มหาวิทยาลัย

ตารางที่ 4.1 ปริมาณของเม็ดแป้งมันสำปะหลังธรรมชาติจากตัวอย่างต่างๆที่ไม่ปราศภูรอยแทรก
บนผิวในพื้นที่ 1 ภาพ^(*)

ตัวอย่างของแป้ง มันสำปะหลังธรรมชาติ	ปริมาณของเม็ดแป้งที่ไม่มีร้อยแทรกปราศภูรอย (จำนวนร้อยละ ต่อ พื้นที่ 1 ภาพ)	
	ช่วงค่าที่วิเคราะห์ได้ ^(*)	ค่าเฉลี่ย
ตัวอย่างที่ 1	93.9-100	96.9 \pm 2.2
ตัวอย่างที่ 2	92.3-100	96.6 \pm 2.8
ตัวอย่างที่ 3	95.3-100	98.3 \pm 2.0
ตัวอย่างที่ 4	93.0-100	96.1 \pm 2.4
ตัวอย่างที่ 5	95.6-100	97.6 \pm 1.5
ตัวอย่างที่ 6	93.7-100	97.0 \pm 2.3

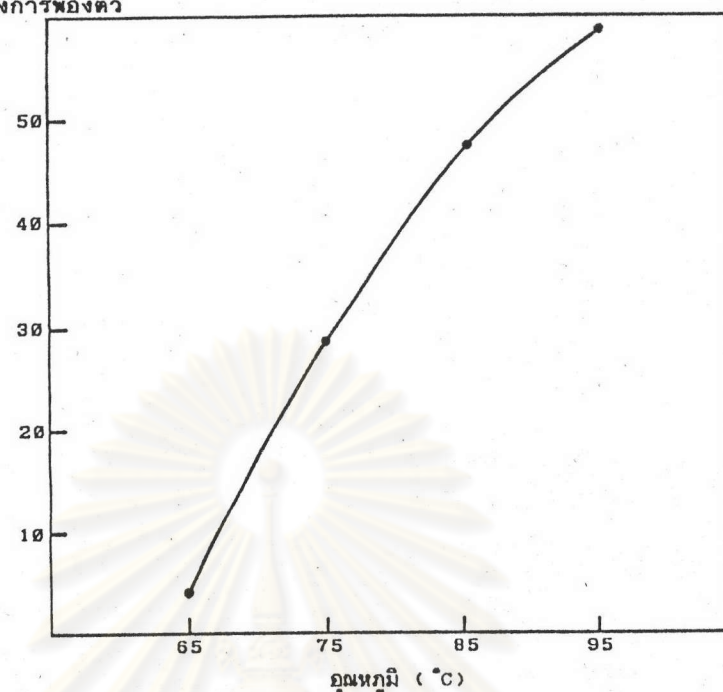
หมายเหตุ (1) เป็นภาพที่บันทึกด้วยกล้องที่ติดอยู่บนเครื่อง Differential Interference Contrast ขนาดกำลังขยาย 400 เท่า
NS ไม่แตกต่างกันอย่างมีนัยสำคัญทางสถิติ (ที่ระดับความเชื่อมั่นร้อยละ 95)

4.2 สมบัติของแป้งมันสำปะหลังธรรมชาติ

เมื่อตรวจสอบสมบัติต่างๆของแป้งมันสำปะหลังธรรมชาติ พบว่า ปริมาณฟอสฟอรัสในแป้งมีค่าเฉลี่ย ร้อยละ 0.0060 ± 0.0002 (โดยน้ำหนักแป้งแห้ง) เมื่ออุณหภูมิสูงขึ้นกำลังการผงองตัวของแป้งมันสำปะหลังธรรมชาติจะเพิ่มขึ้น ทั้งนี้ เพราะในขณะที่เม็ดแป้งໄต้รับความร้อนเพิ่มขึ้น ผันระไห์โดรเจนที่ยิดเนี่ยจะหายไป เนื่องจากเม็ดแป้งจะอ่อนลงและแตกออกมากขึ้น ความแข็งแรงของโครงสร้างภายในเม็ดแป้งจึงลดลง เป็นผลให้ความสามารถในการดูดซึมน้ำและพองตัวเพิ่มขึ้น โดยกำลังการพองตัวของแป้งมันสำปะหลังธรรมชาติที่อุณหภูมิ $65^\circ, 75^\circ, 85^\circ$ และ 95°C มีค่าเท่ากับ $3.95 \pm 0.25, 27.78 \pm 2.78, 46.34 \pm 2.59$ และ 58.13 ± 2.81 ตามลำดับ เมื่อพิจารณาความสามารถผันระไห์ของแป้งที่ต่างๆของแป้งมันสำปะหลังธรรมชาติ (รูปที่ 4.2 ก) จะเห็นได้ว่า ลักษณะการพองตัวของแป้งมันสำปะหลังธรรมชาติเป็นแบบ single stage กล่าวคือ เมื่อความร้อนที่แป้งໄต้รับเพิ่มขึ้นจะทำให้กำลังการพองตัวเพิ่มขึ้นอย่างต่อเนื่องกัน โดยที่การเพิ่มของกำลังการพองตัวเนื่องจากการเพิ่มอุณหภูมิจาก 65° เป็น 75°C มากกว่าการเพิ่มอุณหภูมิจาก 75° เป็น 85° และ 95°C ตามลำดับ แสดงว่า แรงยิดเนี่ยจะหายไปเมื่อเม็ดแป้งจึงสามารถดูดซึมน้ำและเกิดการพองตัวได้ค่อนข้างอิสระ ทำให้กำลังการพองตัวมากขึ้น ผลที่ได้สอดคล้องกับผลการศึกษาของ Leach และคณะ (62) ที่ว่าแรงยิดเนี่ยจะหายไปเมื่อเม็ดแป้งมันสำปะหลังค่อนข้างต่ำทำให้มีลักษณะการเปลี่ยนแปลงของกำลังการพองตัวเป็นแบบ single stage

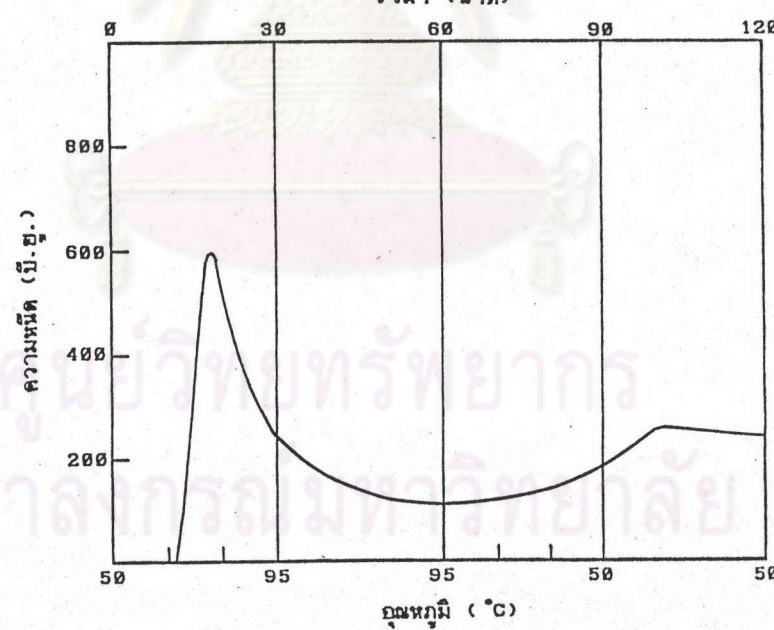
จากการศึกษาการเปลี่ยนแปลงความหนืดของแป้งมันสำปะหลังธรรมชาติที่อุณหภูมิต่างๆ ใน heating-cooling cycle ที่ความเข้มข้นร้อยละ 6 (โดยน้ำหนัก) pH 6.5 ด้วยเครื่อง Brabender Visco-Amylograph พบว่า อุณหภูมิที่ความหนืดเริ่มเปลี่ยนแปลงคือ $67.5 \pm 0.4^\circ\text{C}$ ซึ่งกือว่าเป็นอุณหภูมิสุกของแป้ง (pasting temperature) ทั้งนี้ เพราะที่อุณหภูมิตั้งกล่าว เม็ดแป้งที่กำลังเกิดเจลาตินเซชันสามารถดูดซึมน้ำและพองตัวเพิ่มขึ้นมากและเร็ว แรงดึงดูดระหว่างเม็ดแป้งจึงเพิ่มขึ้นอย่างมาก จนทำให้ความหนืดเริ่มเกิดการเปลี่ยนแปลงและน้ำแป้งจะเปลี่ยนเป็นแป้งเปียก การพิจารณาอุณหภูมิสุกของแป้งโดยใช้การเปลี่ยนแปลงแรงดึงดูด

กำลังการพองตัว



ก. กำลังการพองตัว

เวลา (นาที)



ก. Brabender Visco-Amylogram

รูปที่ 4.2 กำลังการพองตัวที่อุณหภูมิต่างๆ และ Brabender Visco-Amylogram ของแป้งมันสำปะหลังธรรมชาติ

ระหว่างเม็ดแป้งที่เกิดเจลาตีนในเชื้อนจะขึ้นกับความเข้มข้นของน้ำแป้งและภาวะที่ใช้ศักข่า (65) เมื่อพิจารณา Brabender Visco-Amylograph ของแป้งมันปะหลังธรรมชาติ (รูปที่ 4.2 ข) จะเห็นว่า หลังจากที่ความหนืดของแป้งเริ่มเปลี่ยนแปลง เมื่อให้ความร้อนต่อไปความหนืดเพิ่มขึ้นมากและเร็ว จนที่อุณหภูมิ $76.7 \pm 0.6^{\circ}\text{C}$ ความหนืดมีค่าสูงสุด (peak viscosity) ในช่วง heating คือ 595 ± 48 บี.ยู. หลังจากนั้นความหนืดก็จะลดลง จนที่อุณหภูมิ 95°C ความหนืดมีค่าเพียง 248 ± 13 บี.ยู. และเมื่อรักษาอุณหภูมิของแป้งที่ 95°C นาน 30 นาที ความหนืดจะเหลือเพียง 113 ± 24 บี.ยู. ซึ่งเป็นจุดต่ำสุดของความหนืด เมื่อเข้าสู่ช่วง cooling ความหนืดเพิ่มขึ้นเล็กน้อย โดยที่อุณหภูมิ 50°C ความหนืดเพิ่มเป็น 180 ± 33 บี.ยู. และหลังจากรักษาอุณหภูมิที่ 50°C นาน 30 นาที ความหนืดมีค่า 245 ± 35 บี.ยู. จากลักษณะการเปลี่ยนแปลงของความหนืดในช่วง heating แสดงว่า เมื่อแป้งมันสำปะหลังธรรมชาติได้รับความร้อนจะสามารถดูดน้ำและพองตัวได้มากและเร็วในเวลาใกล้เคียงกัน ความหนืดที่จุดสูงสุดซึ่งมีค่าค่อนข้างสูงและ peak จึงแหลมและแคบ ทั้งนี้อาจเป็นเพราะเม็ดแป้งมีขนาดค่อนข้างน้ำเงินอยู่หรือแรงยืดเหด້ี่ยวระหว่างโมเลกุลส่วนน้ำเงินอยู่ในจังเกิดการเปลี่ยนแปลงใกล้เคียงกัน นอกจากนี้เม็ดแป้งมันสำปะหลังธรรมชาติมีแรงยืดเหด້ี่ยวภายในจังเกิดการเปลี่ยนแปลงง่าย (22) ทำให้ผลิต่างของความหนืดระหว่างจุดสูงสุดกับที่อุณหภูมิ 95°C หรือ 50°C นาน 30 นาที มีค่าถึง 347 ± 35 หรือ 482 ± 25 บี.ยู. แสดงว่า เส้นใยรากของความหนืดต่อความร้อนและแรงกระแทกจากการกัดส่องของแป้งมันสำปะหลังตัว สำหรับผลต่างของความหนืดระหว่างที่อุณหภูมิ 95°C นาน 30 นาที กับที่อุณหภูมิ 50°C หรือ 50°C นาน 30 นาที มีค่าเพียง 67 ± 10 หรือ 130 ± 18 บี.ยู. แสดงว่า ในระหว่างที่อุณหภูมิลดลงโมเลกุลของแป้งที่กระจายออกจากกันเม็ดแป้งเกิดการรวมตัวกันน้อย ทั้งนี้เพราะองค์ประกอบส่วนใหญ่ของแป้งมันสำปะหลังธรรมชาติเป็นอะไมโลเพคตินซึ่งโครงสร้างของโมเลกุลมีลักษณะเป็นก้านจิงกำให้แป้งเกิดการคืนตัวช้า แป้งเปียกที่ได้สั่งมีลักษณะเหลา (thinning) และเหนียวขึ้น (stringiness and long salve cohesive)

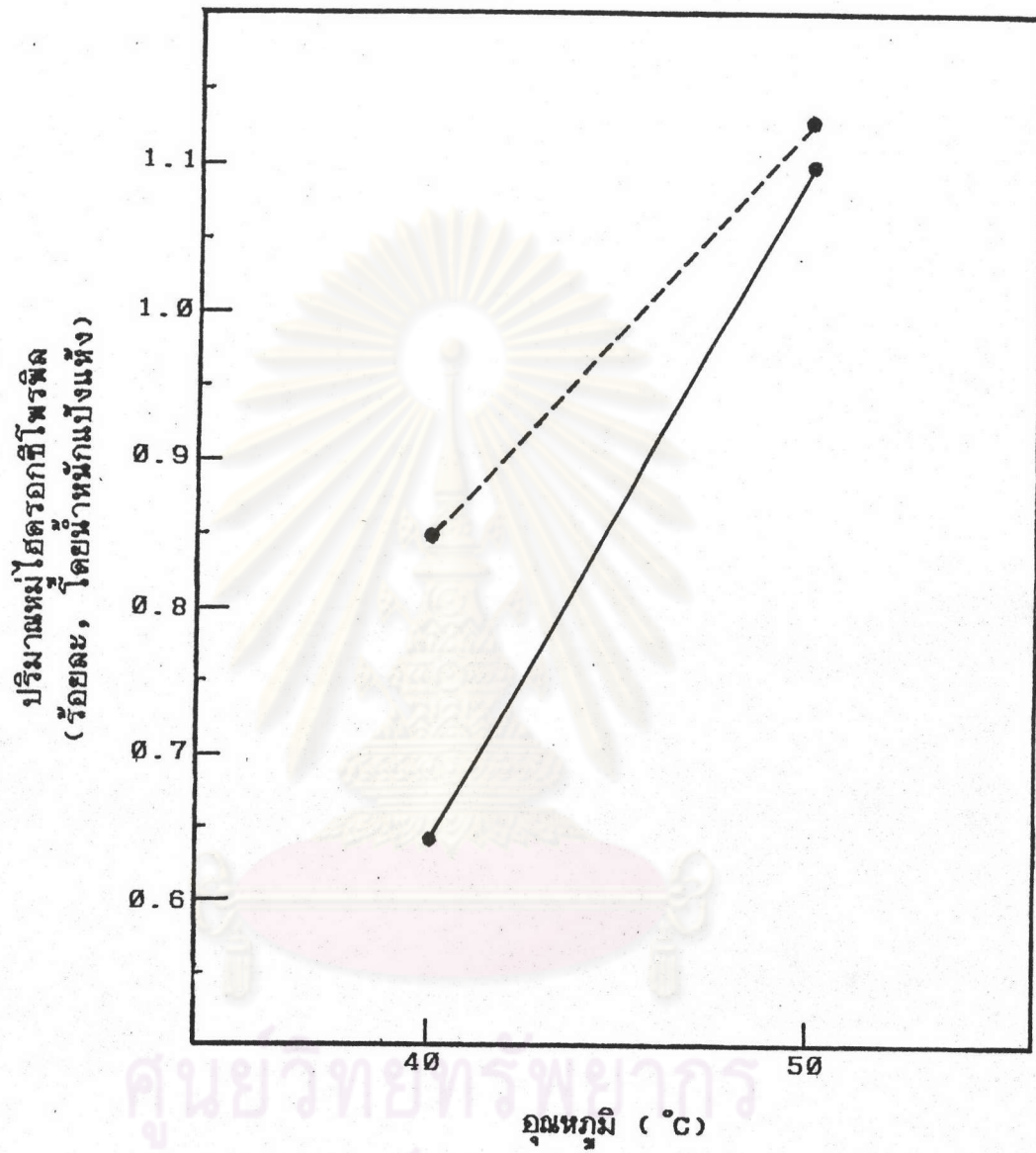
4.3 ศึกษาการดัดแปลงรูปแบบที่และปฏิกิริยาเชื่อมขาวง

4.3.1 ดัดแปลงรูปแบบที่และปฏิกิริยาเชื่อมขาวงที่โดยใช้โพร์พลีนออกไซด์

4.3.1.1 ผลของปริมาณโซเดียมคาร์บอเนตและอุณหภูมิต่อการเกิดปฏิกิริยาแทนที่

จากการดัดแปลงรูปแบบที่และปฏิกิริยาเชื่อมขาวงที่โดยใช้โพร์พลีนออกไซด์ร้อยละ 10 (โดยนำหนักแบ่งหนึ่ง) เป็นเวลา 6 ชั่วโมง ที่อุณหภูมิและปริมาณโซเดียมคาร์บอเนตต่างๆ กัน พบว่า การเพิ่มอุณหภูมิและปริมาณโซเดียมคาร์บอเนตที่ใช้ปรับภาวะของระบบในกระบวนการดัดแปลงจาก 40°C เป็น 50°C และร้อยละ 0.25 เป็น 2.70 (โดยนำหนักแบ่งหนึ่ง) ทำให้ตัวอย่างแบ่งดัดแปลงที่ได้มีปริมาณหมู่ไอก្រอกซิโพร์พลีนเพิ่มขึ้น (รูปที่ 4.3) แสดงว่า การดัดแปลงรูปแบบที่และปฏิกิริยาเชื่อมขาวงที่โดยใช้โพร์พลีนออกไซด์สามารถเกิดได้มากขึ้น ทั้งนี้อาจเป็นเพราะ เมื่ออุณหภูมิสูงขึ้นจะทำให้โนเลกูลของโพร์พลีนออกไซด์สามารถผ่าน (penetration) สูเม็ดแบ่งตัวขึ้น (33) นอกจากนี้เม็ดแบ่งยังดูดซึบ (absorb) โซเดียมอิโอนซึ่งเป็นตัวเร่งปฏิกิริยาเพิ่มขึ้นด้วย (66) ดังนั้นโอกาสที่จะเกิดปฏิกิริยาแทนที่ระหว่างโนเลกูลแบ่งกับโพร์พลีนออกไซด์จึงมากขึ้น และเมื่อเพิ่มปริมาณโซเดียมคาร์บอเนตซึ่งกำหนดให้เป็นบัฟเฟอร์แก่ระบบก็จะทำให้มีปริมาณของ alkali มากขึ้น ปริมาณโซเดียมอิโอนที่อาจถูกเม็ดแบ่งดูดซึบจะเพิ่มขึ้น ซึ่งคล้ายคลึงกับการดัดแปลงรูปแบบที่และปฏิกิริยาเชื่อมขาวงที่ Tsuzuki (33) ที่ว่า การเติมโซเดียมชัลเฟตอย่างน้อย ร้อยละ 5 (โดยนำหนักแบ่งหนึ่ง) นอกจากกำหนดให้เป็น gelatinization inhibitor ให้แก่ระบบแล้วยังช่วยเพิ่มปริมาณของ alkali ที่อาจจะถูกเม็ดแบ่งดูดซึบ

จากการวิเคราะห์ความแปรปรวนทางสถิติของปริมาณหมู่ไอก្រอกซิโพร์พลีนในตัวอย่างแบ่งดัดแปลงที่ได้ พบว่า อุณหภูมิ ปริมาณโซเดียมคาร์บอเนต และผลร่วมระหว่างอุณหภูมิกับปริมาณโซเดียมคาร์บอเนตที่ใช้ในการดัดแปลงรูปแบบที่และปฏิกิริยาเชื่อมขาวง มีผล



รูปที่ 4.3 ปริมาณหมุ่ไ媳ต์ออกซิโพรินิลในต้าอย่างแบงค์ที่ได้จากการตัด
แบบที่อุณหภูมิต่างๆ ในภาวะที่มีปริมาณโซเดียมคาร์บอเนต
ต่างกัน

●————● โซเดียมคาร์บอเนต ร้อยละ 0.25
●————● โซเดียมคาร์บอเนต ร้อยละ 2.70

ให้ปริมาณหมูไอกrogicซีโพร์พิลแตกต่างกันอย่างมีนัยสำคัญทางสถิติที่ระดับความเชื่อมั่นร้อยละ 95) (ภาคผนวก ข ตารางที่ 2) จากรูปที่ 4.3 จะเห็นว่า เมื่อเพิ่มอุณหภูมิจาก 40°C เป็น 50°C ในภาวะที่มีโซเดียมคาร์บอเนตร้อยละ 0.25 (โดยน้ำหนักแบ่งหนึ่ง) จะทำให้ปริมาณหมูไอกrogicซีโพร์พิลเพิ่มจากร้อยละ 0.642 เป็น 1.095 (โดยน้ำหนักแบ่งหนึ่ง) ส่วนในภาวะที่มีโซเดียมคาร์บอเนตร้อยละ 2.70 (โดยน้ำหนักแบ่งหนึ่ง) จะเพิ่มขึ้นจากร้อยละ 0.848 เป็น 1.126 (โดยน้ำหนักแบ่งหนึ่ง) ดังนั้นปริมาณหมูไอกrogicซีโพร์พิลจึงเพิ่มขึ้นร้อยละ 0.453 และ 0.278 ในภาวะที่มีโซเดียมคาร์บอเนตร้อยละ 0.25 และ 2.70 (โดยน้ำหนักแบ่งหนึ่ง) ตามลำดับ แสดงว่า ผลร่วมระหว่างอุณหภูมิกับปริมาณโซเดียมคาร์บอเนตทำให้ปฏิกิริยาเกิดได้ดีในลักษณะที่แตกต่างกัน เมื่อเปรียบเทียบทางสถิติระหว่างค่าเฉลี่ยของปริมาณหมูไอกrogicซีโพร์พิลโดยการทดสอบด้วย t-test (58) (ภาคผนวก ก.1) พบว่า แบ่งที่ได้จากการตัดแบ่งที่อุณหภูมิ 50°C ในระบบที่มีโซเดียมคาร์บอเนตร้อยละ 0.25 และ 2.70 (โดยน้ำหนักแบ่งหนึ่ง) มีปริมาณหมูไอกrogicซีโพร์พิลไม่แตกต่างกันอย่างมีนัยสำคัญทางสถิติที่ระดับความเชื่อมั่นร้อยละ 95) เนื่องจากการตัดแบ่งมันสำปะหลังโดยใช้โพร์พิลินออกไซด์ที่อุณหภูมิ 50°C ปฏิกิริยาแทนที่เกิดได้ต่ำกว่าที่อุณหภูมิ 40°C ดังนั้นการศึกษาในชั้นต่อไปจะตัดแบ่งมันที่อุณหภูมิ 50°C โดยเลือกใช้โซเดียมคาร์บอเนตร้อยละ 0.25 (โดยน้ำหนักแบ่งหนึ่ง) เป็นบันฟเฟอร์ ทั้งนี้ เพราะประสิทธิภาพของการเกิดปฏิกิริยาใกล้เคียงกับภาวะที่มีโซเดียมคาร์บอเนต ร้อยละ 2.70 (โดยน้ำหนักแบ่งหนึ่ง) แต่ประหยัดกว่า

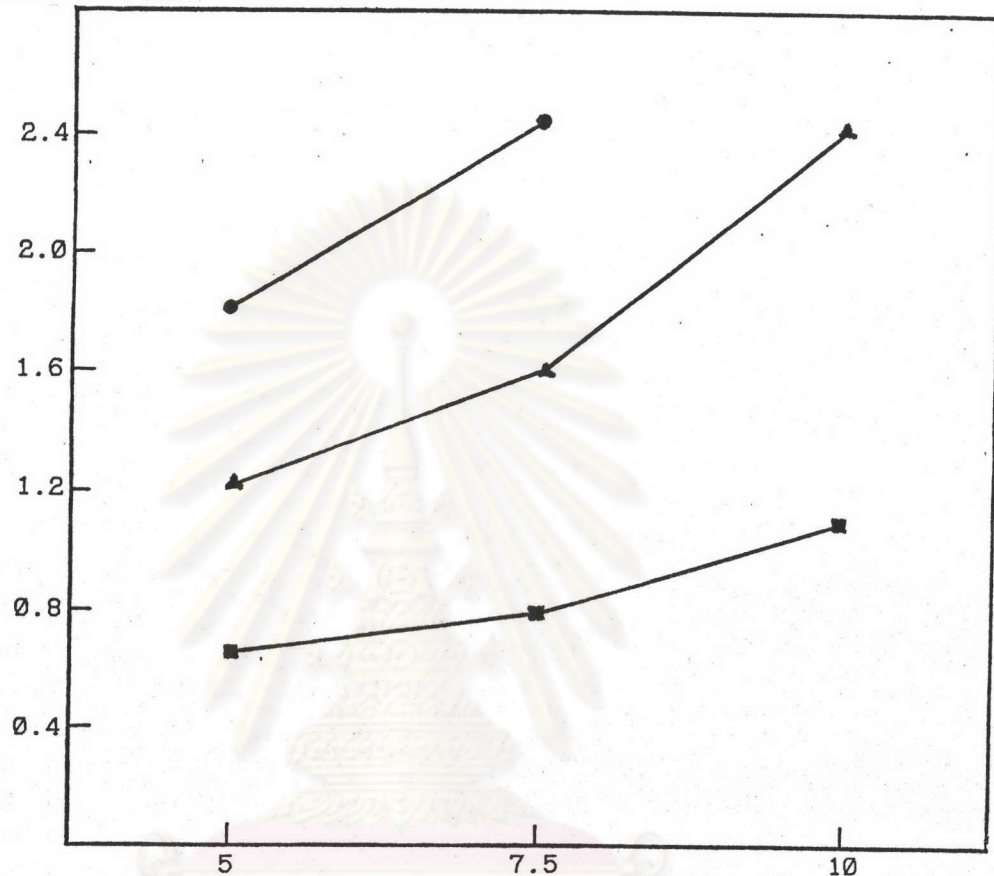
4.3.1.2 ผลของปริมาณโพร์พิลินออกไซด์และเวลาต่อการเกิดปฏิกิริยา

แทนที่

จากการตัดแบ่งมันสำปะหลังธรรมชาติตัวย์โพร์พิลินออกไซด์ร้อยละ 5, 7.5 และ 10 (โดยน้ำหนักแบ่งหนึ่ง) เป็นเวลา 6, 12 และ 24 ชั่วโมง พบว่า ความหนืดของน้ำมันสำปะหลังในระหว่างการตัดแบ่งจะเพิ่มขึ้น ทั้งนี้ เพราะแบ่งไอกrogicซีโพร์พิลของตัวในน้ำเย็นตีชั้น (40) ความหนืดจะมากขึ้นโดยเฉพาะในการวิจัยนี้ เมื่อกำการตัดแบ่งแบ่งด้วยโพร์พิลินออกไซด์ ร้อยละ 10 (โดยน้ำหนักแบ่งหนึ่ง) ความหนืดเพิ่มขึ้นมากจนกระแทกเครื่องกวนผลลัพธ์

หยุดทำงานหลังการเกิดปฏิกิริยานานกว่า 15 ชั่วโมง จึงมีตัวอย่างแบ่งไฮดรอกซิโพร์ฟิลสำหรับศึกษาสมบัติต่างๆ ในขันนี้เพียง 8 ตัวอย่าง คือ ตัวอย่างแบ่งที่ตัดแยกด้วยโพร์ฟิลออกไซด์ ร้อยละ 5 และ 7.5 เป็นเวลา 6, 12 และ 24 ชั่วโมง และตัวอย่างแบ่งที่ตัดแยกด้วยโพร์ฟิลออกไซด์ ร้อยละ 10 เป็นเวลา 6 และ 12 ชั่วโมง ตัวอย่างแบ่งที่ตัดแยกด้วยโพร์ฟิลที่ได้มีปริมาณความชื้นเฉลี่ย ร้อยละ 12.03-13.26 (โดยน้ำหนัก) และความเป็นกรด-ด่างเฉลี่ย 6.44-6.59 โดยปริมาณความชื้นและความเป็นกรด-ด่างของตัวอย่างแบ่งดัดแปลงไม่แตกต่างกันอย่างมีนัยสำคัญทางสถิติ (ภาคผนวก ข ตารางที่ 3) แต่ปริมาณหมู่ไฮดรอกซิโพร์ฟิลจะมากขึ้นเมื่อปริมาณโพร์ฟิลออกไซด์และเวลาที่ใช้ในการตัดแยกเพิ่มขึ้น (รูปที่ 4.4) ปฏิกิริยาแทนที่ระหว่างโนเลกูล แบ่งกับโพร์ฟิลออกไซด์เป็นปฏิกิริยาอิเทอร์พิเคนท์มิกลักษณะการเกิดปฏิกิริยาแบบ nucleophilic bimolecular (ตั้งสมการที่ 2.1-2.2) โดยมีโนเลกูลแบ่งเป็นโนเลกูล nucleophile ที่จะเข้าทำปฏิกิริยาแทนที่ผันระหว่างคาร์บอนกับออกซิเจนซึ่งไม่เสียรนักในโนเลกูลของโพร์ฟิลออกไซด์ จากการวิเคราะห์ความแบบปานทางสถิติของปริมาณหมู่ไฮดรอกซิโพร์ฟิลในตัวอย่างแบ่งที่ได้ (ภาคผนวก ก.2) พบว่า ปริมาณโพร์ฟิลออกไซด์ เวลา และผลร่วมระหว่างปริมาณโพร์ฟิลออกไซด์กับเวลา มีผลทำให้ปริมาณหมู่ไฮดรอกซิโพร์ฟิลแตกต่างกันอย่างมีนัยสำคัญทางสถิติ (ที่ระดับความเชื่อมั่นร้อยละ 95) (ภาคผนวก ข ตารางที่ 4) จากรูปที่ 4.4 จะเห็นว่า ที่เวลาใน การตัดแยกเท่ากัน การเพิ่มปริมาณโพร์ฟิลออกไซด์จาก ร้อยละ 5 เป็น 7.5 (โดยน้ำหนักแบ่ง แห้ง) ปริมาณหมู่ไฮดรอกซิโพร์ฟิลในตัวอย่างแบ่งดัดแปลงเพิ่มขึ้นอย่างมีนัยสำคัญทางสถิติ (ที่ระดับความเชื่อมั่นร้อยละ 95) (ภาคผนวก ข ตารางที่ 4.4) และแนวโน้มการเพิ่มของปริมาณหมู่ไฮดรอกซิโพร์ฟิลเนื่องจากการเพิ่มปริมาณโพร์ฟิลออกไซด์เมื่อใช้เวลาในการเกิดปฏิกิริยา 6 ชั่วโมง จะน้อยกว่าเมื่อใช้เวลา 12 และ 24 ชั่วโมง ตามลำดับ แสดงว่า ผลร่วมระหว่างปริมาณโพร์ฟิลออกไซด์และเวลาจะเสริมให้ปริมาณหมู่ไฮดรอกซิโพร์ฟิลในตัวอย่างแบ่งเพิ่มขึ้นมาก แบ่งดัดแปลงที่ได้ส่วนใหญ่มีปริมาณหมู่ไฮดรอกซิโพร์ฟิลเฉลี่ยแตกต่างกันอย่างมีนัยสำคัญทางสถิติ (ที่ระดับความเชื่อมั่นร้อยละ 95) (ตารางที่ 4.2) ยกเว้นแบ่งที่ตัดแยกด้วยโพร์ฟิลออกไซด์ร้อยละ 5 เป็นเวลา 12 ชั่วโมง กับร้อยละ 10 เป็นเวลา 6 ชั่วโมง และแบ่งที่ตัดแยกด้วยโพร์ฟิลออกไซด์ร้อยละ 7.5 เป็นเวลา 24 ชั่วโมง กับร้อยละ 10 เป็นเวลา 12 ชั่วโมง ซึ่งมีปริมาณหมู่ไฮดรอกซิโพร์ฟิลเฉลี่ยในแบ่งไม่แตกต่างกันอย่างมีนัยสำคัญทางสถิติ และจากการคำนวณระดับการ

ปริมาณหมู่ไอีครอกซีโพรพิล
(ร้อยละ โดยน้ำหนัก)



ปริมาณโพรพิลินออกไซด์
(ร้อยละ โดยน้ำหนักแบ่งหน้าง)

รูปที่ 4.4 ปริมาณหมู่ไอีครอกซีโพรพิลในตัวอย่างแบ่งที่ตัดแบ่งด้วยโพรพิลินออกไซด์ปริมาณต่างๆ เป็นเวลาต่างกัน

- ที่ใช้เวลาในการตัดแบ่ง 6 ชั่วโมง
- ▲ ที่ใช้เวลาในการตัดแบ่ง 12 ชั่วโมง
- ที่ใช้เวลาในการตัดแบ่ง 24 ชั่วโมง

ตารางที่ 4.2 ปริมาณหมูไอกrogicซีโพร์พิลและระดับการแทนที่ในตัวอย่างแบ่งไอกrogicซีโพร์พิล

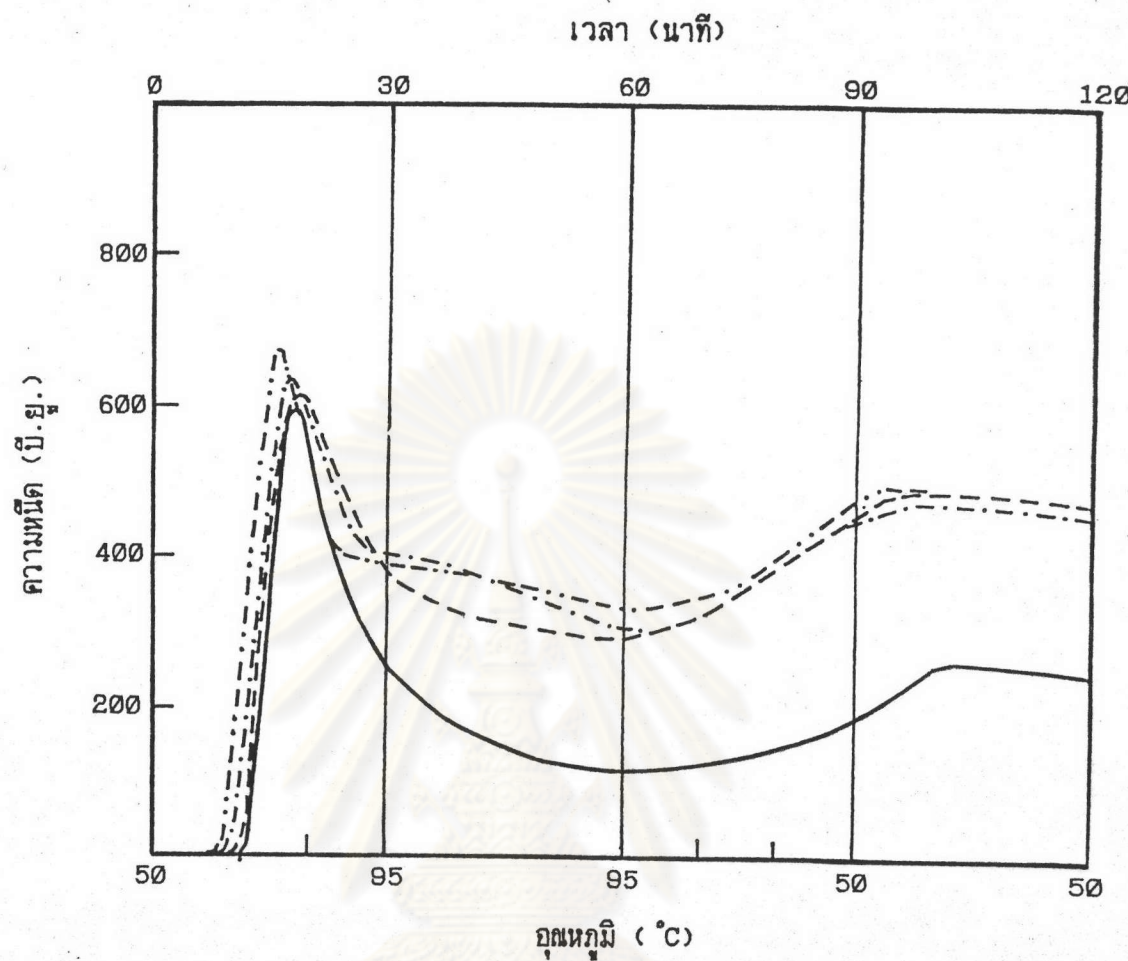
ตัวอย่างแบ่งไอกrogicซีโพร์พิล		ปริมาณหมูไอกrogicซีโพร์พิล (ร้อยละ) โดยน้ำหนักแบ่งแพ้ง)	ระดับการแทนที่ (D.S.)
ปริมาณโพร์พิลในอกไชด์ (ร้อยละ)	เวลา (ชั่วโมง)		
5	6	0.660 ± 0.028^a	0.019
	12	1.225 ± 0.078^c	0.035
	24	2.019 ± 0.082^e	0.058
7.5	6	0.799 ± 0.018^b	0.022
	12	1.597 ± 0.054^d	0.045
	24	2.586 ± 0.047^f	0.074
10	6	1.095 ± 0.016^c	0.031
	12	2.513 ± 0.049^f	0.072

หมายเหตุ ค่าเฉลี่ยที่มีอักษรเหมือนกัน มีปริมาณหมูไอกrogicซีโพร์พิลเฉลี่ยไม่แตกต่างกันอย่างมีนัยสำคัญทางสถิติ (ที่ระดับความเชื่อมั่นร้อยละ 95)

แทนที่ของหมูไอกrogicซีฟอร์พิล (ดังสมการที่ 3.2) พบว่า ตัวอย่างแป้งที่ได้มีระดับการแทนที่ต่างกัน อยู่ในช่วง 0.018-0.074 จึงจัดเป็นแป้งไอกrogicซีฟอร์พิลหากที่มีระดับการแทนที่ต่ำ (31)

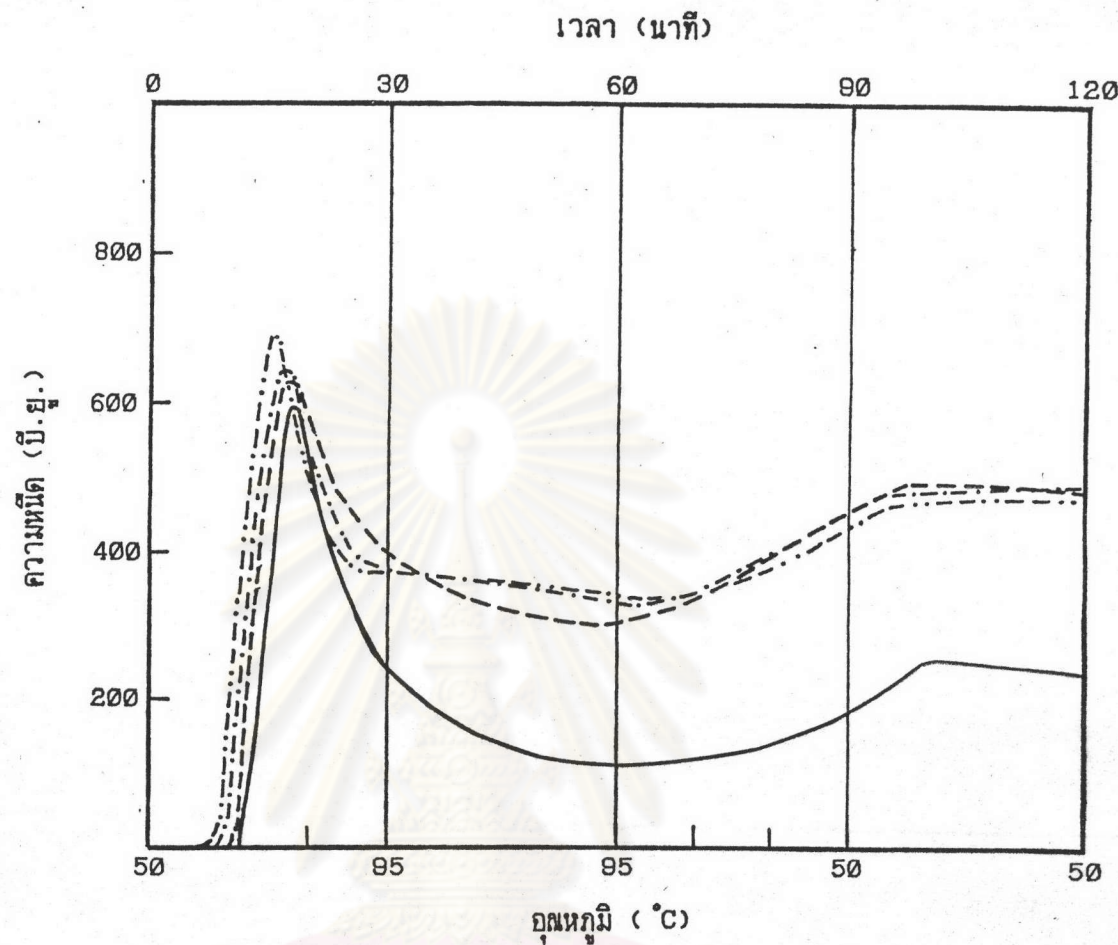
จากการวัดการเปลี่ยนแปลงความหนืดของตัวอย่างแป้งไอกrogicซีฟอร์พิลที่อุณหภูมิต่างๆ ใน heating-cooling cycle ที่ความเข้มข้นร้อยละ 6 (โดยน้ำหนัก) pH 6.5 ด้วยเครื่อง Brabender Visco-Amylograph พบว่า การเปลี่ยนแปลงความหนืดของตัวอย่างแป้งไอกrogicซีฟอร์พิลที่มีระดับการแทนที่ต่างกันจะมีรูปแบบคล้ายคลึงกัน (รูปที่ 4.5-4.7) กล่าวคือ เมื่อให้ความร้อนจนถึงตำแหน่งที่เป็นอุณหภูมิสุดของแป้งแต่ละตัวอย่างซึ่งความหนืดของแป้งก็จะเริ่มเปลี่ยนแปลง การให้ความร้อนต่อไปอีกจะทำให้ความหนืดเพิ่มขึ้นมากและเร็วจนถึงจุดสูงสุด หลังจากนั้นความหนืดของแป้งก็จะลดลงอย่างรวดเร็ว จึงเกิดเป็น peak ที่ค่อนข้างแหลมและแคบใน Brabender Visco-Amylogram และความหนืดยังคงลดลงช้าๆ ต่อไป จนที่อุณหภูมิ 95 °C นาน 30 นาที จึงเป็นจุดต่ำสุดของความหนืด ใน cooling ความหนืดจะเพิ่มขึ้น เมื่ออุณหภูมิลดลงเป็น 50 °C และควบคุมอุณหภูมนี้ของแป้งเป็นระยะเวลาหนึ่ง ความหนืดก็จะเริ่มคงที่ รูปแบบของ Brabender Visco-Amylogram ของแป้งไอกrogicซีฟอร์พิลที่ได้คล้ายคลึงกับของแป้งไอกrogicซีฟอร์พิลที่ตัดแยกจากแป้งข้าวโพด (รูปที่ 2.1) (28) จากการวิเคราะห์ความประปรานทางสถิติ พบว่า บริมาณฟอร์ฟลินออกไซต์ เวลา และผลร่วมระหว่างปริมาณฟอร์ฟลินออกไซต์กับเวลาที่ใช้ในการตัดแยก มีผลทำให้อุณหภูมิสุดของตัวอย่างแป้งไอกrogicซีฟอร์พิลแตกต่างกันอย่างมีนัยสำคัญทางสถิติ (ที่ระดับความเชื่อมั่นร้อยละ 95) (ภาคผนวก ข ตารางที่ 5) แต่ความหนืดที่จุดสูงสุดของแป้งไอกrogicซีฟอร์พิลจะขึ้นกับเวลาที่ใช้ในการเกิดปฏิกิริยาแทนที่เท่านั้น ส่วนความหนืดของแป้งที่อุณหภูมิ 95 °C, 95 °C นาน 30 นาที, 50 °C และ 50 °C นาน 30 นาที ไม่แตกต่างกันอย่างมีนัยสำคัญทางสถิติ (ภาคผนวก ข ตารางที่ 5-7)

เมื่อเปรียบเทียบกับ Brabender Visco-Amylogram ของแป้งมันสำปะหลังธรรมชาติ (รูปที่ 4.5-4.7) จะเห็นว่า ความหนืดของแป้งไอกrogicซีฟอร์พิลเริ่มเกิดการเปลี่ยนแปลงก่อนแป้งมันสำปะหลังธรรมชาติ แสดงว่า เม็ดแป้งไอกrogicซีฟอร์พิลสามารถเริ่มเกิดเจลอาทิตย์ในเชิงตัวที่ต่ำกว่าแป้งมันสำปะหลัง (ตารางที่ 4.3) ทั้งนี้เป็น



รูปที่ 4.5 Brabender Visco-Amylogram ของตัวอย่างแป้งไฮดรอกซิโพรา
พิลที่ตัดแปรงด้วยไฟฟ้าสินออกไซด์ร้อนละ 5 เป็นเวลาต่างๆ กัน
เปรียบเทียบกับแป้งมันสำปะหลังธรรมชาติ ที่ความเข้มข้นร้อนละ 6
pH 6.5

- แป้งมันสำปะหลังธรรมชาติ
- - - - แป้งที่ตัดแปรงเป็นเวลา 6 ชั่วโมง
- - - - - แป้งที่ตัดแปรงเป็นเวลา 12 ชั่วโมง
- - - - - - แป้งที่ตัดแปรงเป็นเวลา 24 ชั่วโมง



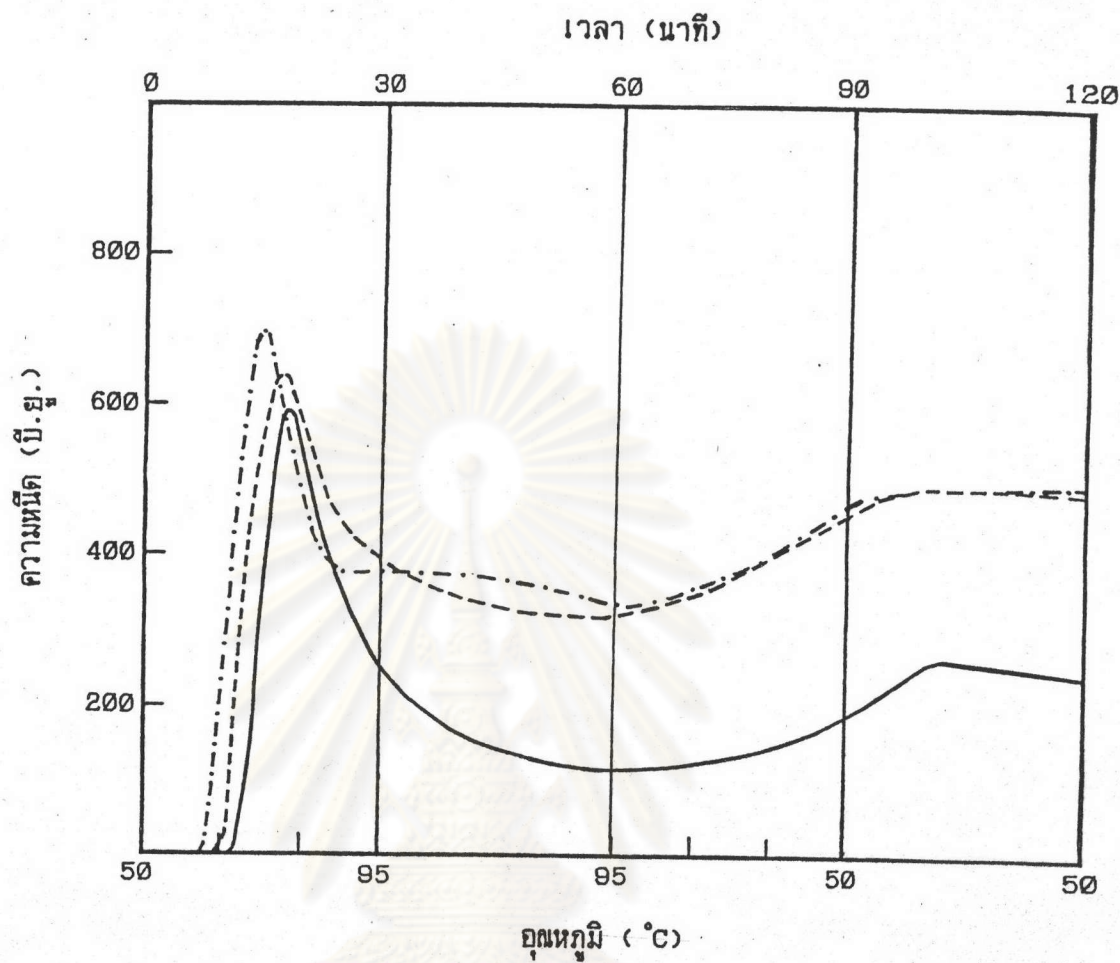
รูปที่ 4.6 Brabender Visco-Amylogram ของต้าอย่างแบงปี้ยอดอกซีฟอร์พิลที่ดัดแปลงด้วยฟอร์พิลินออกไซด์ร้อยละ 7.5 เป็นเวลาต่างๆ กัน
เปรียบเทียบกับแบงมันสำปะหลังธรรมชาติ ที่ความเข้มข้นร้อยละ 6
pH 6.5

————— แบงมันสำปะหลังธรรมชาติ

----- แบงที่ดัดแปลงเป็นเวลา 6 ชั่วโมง

- - - - แบงที่ดัดแปลงเป็นเวลา 12 ชั่วโมง

- · - - แบงที่ดัดแปลงเป็นเวลา 24 ชั่วโมง



รูปที่ 4.7 Brabender Visco-Amylogram ของตัวอย่างแป้งไชยาดรอคชีฟอร์พิลที่ตัดแปรงด้วยไฟฟ้าในอุ่นไวร์ร้อยล 10 เป็นเวลาต่างๆ กัน เปรียบเทียบกับแป้งมันสำปะหลังธรรมชาติ ที่ความเข้มข้นร้อยล 6 pH 6.5

- แป้งมันสำปะหลังธรรมชาติ
- - - แป้งที่ตัดแปรงเป็นเวลา 6 ชั่วโมง
- · - แป้งที่ตัดแปรงเป็นเวลา 12 ชั่วโมง

ตารางที่ 4.3 อุณหภูมิสุกของตัวอย่างเบี้งไยดรอกซิฟอร์พิลเปรียบเทียบกับเบี้งมันสำปะหลังธรรมชาติ ที่ความเข้มข้น ร้อยละ 6 pH 6.5 วัดด้วยเครื่อง Brabender Visco-Amylograph

ตัวอย่างเบี้งไยดรอกซิฟอร์พิล		อุณหภูมิสุก เฉลี่ย (°C)	อุณหภูมิที่ลดลง (°C)
ปริมาณฟาร์พิล negotizer (ร้อยละ)	เวลา (ชั่วโมง)		
5	6	64.8±0.7	2.7
	12	63.5±0.7	3.0
	24	62.6±0.4	4.9
7.5	6	64.1±0.2	3.4
	12	62.8±0.4	4.7
	24	60.6±0.6	6.9
10	6	63.9±0.4	3.6
	12	61.3±0.6	6.2
เบี้งมันสำปะหลังธรรมชาติ		67.5±0.4	

เพราฯ แบงค์ที่เกิดการแทนที่ของนมไอกrocic โพร์พิลจะสามารถทำปฏิกิริยา กับน้ำดีชั้น จึงต้องการ พลังงานเพื่อช่วยกระตุ้นให้เกิดการดูดน้ำในระหว่างการเจลาติน เชื้อน้ำอย่าง อุณหภูมิสุกของ แบงค์จิงลดลง และตัวอย่างแบงค์ที่มีระดับการแทนที่มากก็จะเริ่มเกิดปฏิกิริยา กับน้ำได้เร็วกว่าตัว อย่างแบงค์ที่มีระดับการแทนที่น้อย อุณหภูมิสุกของ แบงค์จิงลดต่ำกว่าแบงค์มันสำปะหลังมากชั้น ผลการทดลองนี้สอดคล้องกับการศึกษาอุณหภูมิการเกิดเจลของแบงค์ไอกrocic โพร์พิลที่ตัดแยกจากแบงค์ช้า ไฟฟ์โดยใช้ Differential Scanning Calorimetry ของ Woottton และ Manatsathit (67) ที่ว่า เมื่อระดับการแทนที่ของนมไอกrocic โพร์พิลสูงชั้น อุณหภูมิการเกิดเจลของแบงค์จะลดลง

เมื่อเปรียบเทียบค่าเฉลี่ยของความหนืดที่ทำแห่งต่างๆระหว่าง ตัวอย่างแบงค์ไอกrocic โพร์พิล กับ แบงค์มันสำปะหลังธรรมชาติตัวอย่าง t-test พบว่า ตัวอย่างแบงค์ไอกrocic โพร์พิลที่ตัดแยกด้วยไฟฟ์โดย Woottton ร้อยละ 5 และ 7.5 เป็นเวลา 24 ชั่วโมง และ ตัวอย่างที่ตัดแยกด้วยไฟฟ์โดย Manatsathit ร้อยละ 10 เป็นเวลา 12 ชั่วโมง มีความหนืดที่สูงสุดมากกว่าแบงค์มันสำปะหลังธรรมชาติตอย่างมีนัยสำคัญทางสถิติ (ที่ระดับความเชื่อมั่นร้อยละ 95) ส่วน ความหนืดที่สูงสุดของตัวอย่างแบงค์ไอกrocic โพร์พิลที่เหลือไม่แตกต่างกับแบงค์มันสำปะหลังธรรมชาติตอย่างมีนัยสำคัญทางสถิติ (ตารางที่ 4.4) สำหรับความหนืดของตัวอย่างแบงค์ไอกrocic โพร์พิล ที่ 95 °C, 95 °C นาน 30 นาที, 50 °C และ 50 °C นาน 30 นาที มากกว่าแบงค์มันสำปะหลัง ธรรมชาติตอย่างมีนัยสำคัญทางสถิติ (ที่ระดับความเชื่อมั่นร้อยละ 95) (ตารางที่ 4.4-4.5) อนึ่ง ตัวอย่างแบงค์ไอกrocic โพร์พิลส่วนใหญ่มีค่าผลต่างของความหนืดระหว่างจุดสูงสุดกับที่ 95 °C หรือ 95 °C นาน 30 นาที และผลต่างของความหนืดระหว่างที่ 95 °C กับ 95 °C นาน 30 นาที น้อยกว่าแบงค์มันสำปะหลังธรรมชาติตอย่างมีนัยสำคัญทางสถิติ (ที่ระดับความเชื่อมั่นร้อยละ 95) (ตารางที่ 4.6) แสดงว่า เล็กซิรภาพของความหนืดต่อความร้อนและแรงกระทำของตัวอย่างแบงค์ไอกrocic โพร์พิลมากกว่าแบงค์มันสำปะหลังธรรมชาติ ทั้งนี้อาจเป็นเพราะการแทนที่ของนมไอกrocic โพร์พิล ในแบงค์มันสำปะหลังธรรมชาติทำให้โนเลกูลเกิดความรطة เกาะกษามากชั้น เมื่อได้รับความร้อนจน แบงค์สุก ลักษณะของแบงค์เปียกที่ได้จะเนียนแน่นอนมาก (viscoelastic) ทำให้แรงยืดเกาะกันของแบงค์สุก จึงมีเล็กซิรภาพของความหนืดมาก (20) ซึ่งแตกต่างจาก Brabender Visco-

ตารางที่ 4.4 ความหนืดในช่วง heating ของตัวอย่างแบ่งไฮดรอกซิโพริลเบรย์บทียบกับ
แบ่งมันสำปะหลังธรรมชาติ ที่ความเข้มข้นร้อยละ 6 pH 6.5

ตัวอย่างแบ่งไฮดรอกซิโพริล		ความหนืด (บี.ยู.)		
ปริมาณโพริลินออกไซด์ (ร้อยละ)	เวลา (ชั่วโมง)	จุดสูงสุด	ที่ 95 °C	ที่ 95 °C (30 นาที)
5	6	618 _± 18	385 _± 14*	293 _± 11*
	12	638 _± 25	395 _± 35*	303 _± 18*
	24	678 _± 25*	388 _± 32*	325 _± 7*
7.5	6	633 _± 32	383 _± 11*	303 _± 11*
	12	655 _± 21	378 _± 25*	320 _± 7*
	24	698 _± 18*	398 _± 18*	325 _± 14*
10	6	640 _± 14	388 _± 11*	313 _± 4*
	12	693 _± 11*	388 _± 18*	318 _± 18*
แบ่งมันสำปะหลังธรรมชาติ		595 _± 48	248 _± 13	113 _± 24

หมายเหตุ * ค่าเฉลี่ยของตัวอย่างแบ่งไฮดรอกซิโพริลกับแบ่งมันสำปะหลังธรรมชาติแตกต่างกันอย่างมีนัยสำคัญทางสถิติ (ที่ระดับความเชื่อมั่นร้อยละ 95)

ตารางที่ 4.5 ความหนืดในช่วง cooling ของตัวอย่างแบงปี้อิดรอกซิฟอร์พิลเปรียบเทียบกับ
แบงมันสำปะหลังธรรมชาติ ที่ความเข้มข้นร้อยละ 6 pH 6.5

ตัวอย่างแบงปี้อิดรอกซิฟอร์พิล		ความหนืด (บี.ยู.)	
ปริมาณฟอร์พิลินออกไซด์ (ร้อยละ)	เวลา (ชั่วโมง)	ที่ 50 °C	ที่ 50 °C นาน 30 นาที
5	6	460 \pm 7*	483 \pm 4*
	12	453 \pm 18*	468 \pm 25*
	24	468 \pm 4*	480 \pm 14*
7.5	6	460 \pm 14*	478 \pm 11*
	12	463 \pm 25*	480 \pm 28*
	24	460 \pm 14*	473 \pm 18*
10	6	455 \pm 7*	475 \pm 0*
	12	465 \pm 21*	478 \pm 11*
แบงมันสำปะหลังธรรมชาติ		180 \pm 33	245 \pm 35

หมายเหตุ * ค่าเฉลี่ยของตัวอย่างแบงปี้อิดรอกซิฟอร์พิลกับแบงมันสำปะหลังธรรมชาติแตกต่างกันอย่างมีนัยสำคัญทางสถิติ (ที่ระดับความเชื่อมั่นร้อยละ 95)

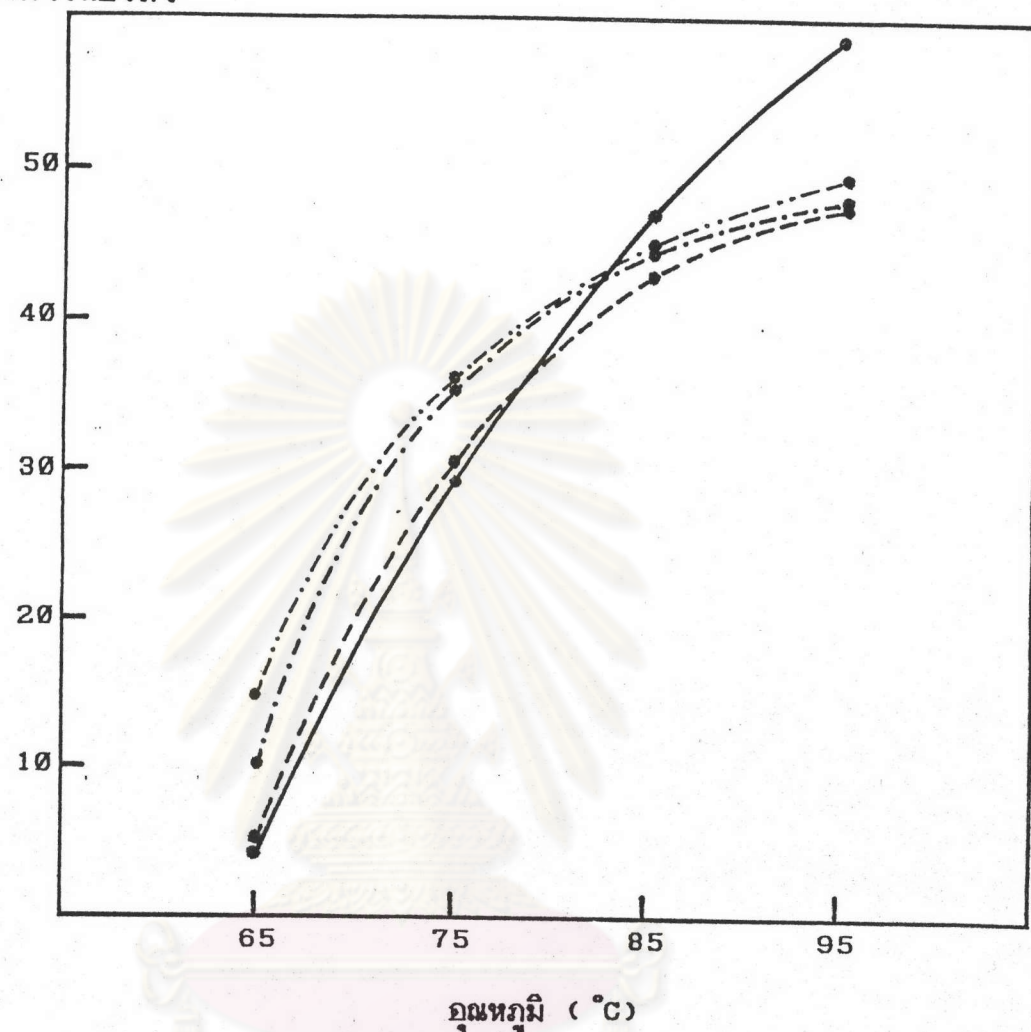
ตารางที่ 4.6 ผลต่างระหว่างความหนืด动态แห่งต่างๆจาก Brabender Visco-Amylogram ของตัวอย่างแป้งไอกโรคีโพร์พิล ที่ความเข้มข้น ร้อยละ 6 (โดยน้ำหนัก) pH 6.5

ตัวอย่างแป้งไอกโรคีโพร์พิล		ผลต่างระหว่างความหนืด动态แห่งต่างๆ (มี.ย.)			
โพร์พิลน้อยกว่า	เวลา (ชั่วโมง)	จุดสูงสุดกับที่ 95 °C	จุดสูงสุดกับที่ 95 °C (30 นาที)	ที่ 95 °C กับที่ 95 °C (30 นาที)	ที่ 95 °C (30 นาที) กับที่ 50 °C (30 นาที)
5 7.5 10	6	233 ₄ *	325 ₇ *	93 ₄ *	168 ₄ *
		243 ₁₁ *	335 ₇ *	93 ₁₈ *	150 ₀ *
		290 ₇ ^{ns}	353 ₁₁ *	63 ₂₅ *	143 ₁₁ *
	12	250 ₂₁ *	330 ₂₁ *	80 ₀ *	158 ₄ *
		278 ₁₁ *	335 ₁₄ *	58 ₁₈ *	143 ₁₈ *
		300 ₀ ^{ns}	373 ₄ *	73 ₄ *	135 ₀ *
	24	253 ₄ *	328 ₁₈ *	75 ₁₄ *	143 ₁₁ *
		305 ₂₈ ^{ns}	375 ₇ *	70 ₃₅ *	148 ₄ *
แป้งมันสำปะหลังธรรมชาติ		347 ₃₇	482 ₂₃	135 ₁₅	67 ₂₃

Amylogram ของแบงค์ไอกอชีฟอร์พิลที่ตัดแยกจากแบงค์ข้าวโพด (รูปที่ 2.1) ที่ว่า เสกิยราพ ของความหนืดต่อความร้อนและแรงกระทำของแบงค์ไอกอชีฟอร์พิลจะน้อยกว่าแบงค์ข้าวโพดธรรมชาติ ทั้งนี้อาจเป็นเพราะสมบัติของแบงค์ธรรมชาติก่อนเกิดปฏิกิริยาแทนที่แตกต่างกัน ทำให้แนวโน้มการเปลี่ยนแปลงสมบัติของแบงค์ตัดแยกต่างกัน ส่วนผลต่างของความหนืดระหว่างที่ 95°C นาน 30 นาที กับที่ 50°C ของตัวอย่างแบงค์ไอกอชีฟอร์พิลจะมากกว่าแบงค์มันสำปะหลังธรรมชาติ แสดงว่า โอมากลุของแบงค์ไอกอชีฟอร์พิล เกิดการรวมตัวกันในช่วง 0001 sec มากกว่าแบงค์มันสำปะหลังธรรมชาติเนื่องจากโอมากลุของแบงค์ไอกอชีฟอร์พิลสร้างผนังไอก็อดเจนได้มีขึ้น

จากการตรวจสอบกำลังการพองตัวของแบงค์ไอกอชีฟอร์พิลที่ อุณหภูมิ 65° , 75° , 85° และ 95°C พบว่า กำลังการพองตัวจะเพิ่มขึ้นเมื่ออุณหภูมิสูงขึ้น (รูปที่ 4.8-4.10) อย่างไรก็ตาม กำลังการพองตัวเฉลี่ยที่อุณหภูมิ 85° และ 95°C ของแบงค์ไอกอชีฟอร์พิลแต่ละตัวอย่างไม่แตกต่างกันอย่างมีนัยสำคัญทางสถิติ ซึ่งปริมาณฟอร์พิลีนออกไซด์ เวลา และผลร่วมระหว่างปริมาณฟอร์พิลีนออกไซด์กับเวลาที่ใช้ในการเกิดปฏิกิริยาแทนที่ มิผลทำให้ตัวอย่างแบงค์ไอกอชีฟอร์พิลมีกำลังการพองตัวที่อุณหภูมิ 65° และ 75°C แตกต่างกันอย่างมีนัยสำคัญทางสถิติ (ที่ระดับความเชื่อมั่นร้อยละ 95) (ภาคผนวก ข ตารางที่ 8) แต่กำลังการพองตัวที่ อุณหภูมิ 85° และ 95°C ไม่แตกต่างกันอย่างมีนัยสำคัญทางสถิติ (ภาคผนวก ข ตารางที่ 9) เมื่อ เปรียบเทียบกับแบงค์มันสำปะหลังธรรมชาติ จะเห็นว่า ที่อุณหภูมิ 65° และ 75°C กำลังการพองตัวของตัวอย่างแบงค์ไอกอชีฟอร์พิลมากกว่าแบงค์มันสำปะหลัง นอกจากนี้ตัวอย่างแบงค์ที่มีระดับการแทนที่สูงมีกำลังการพองตัวมากกว่าตัวอย่างแบงค์ที่มีระดับการแทนที่ต่ำ แต่เมื่อเพิ่มอุณหภูมิเป็น 85° และ 95°C กำลังการพองตัวของตัวอย่างแบงค์ไอกอชีฟอร์พิลกลับน้อยกว่าแบงค์มันสำปะหลังธรรมชาติ ทั้งนี้อาจเป็นเพราะตัวอย่างแบงค์ที่เกิดการแทนที่ของหมู่ไอกอชีฟอร์พิลมีอุณหภูมิสูงต่ำลง เม็ดแบงค์จึงเริ่มทำปฏิกิริยากับน้ำทำให้เกิดการดูดน้ำและพองตัวได้ก่อน ที่อุณหภูมิ 65° และ 75°C ตัวอย่างแบงค์ไอกอชีฟอร์พิลจึงเกิดการเจลาริตในเชิงมากกว่าแบงค์มันสำปะหลังธรรมชาติ ทำให้ ความสามารถในการดูดน้ำและพองตัวสูงกว่า ดังนั้นแบงค์ที่มีระดับการแทนที่สูงมีอุณหภูมิสูงต่ำกว่า แบงค์ที่มีระดับการแทนที่ต่ำ กำลังการพองตัวที่อุณหภูมิ 65° และ 75°C จึงมากกว่า

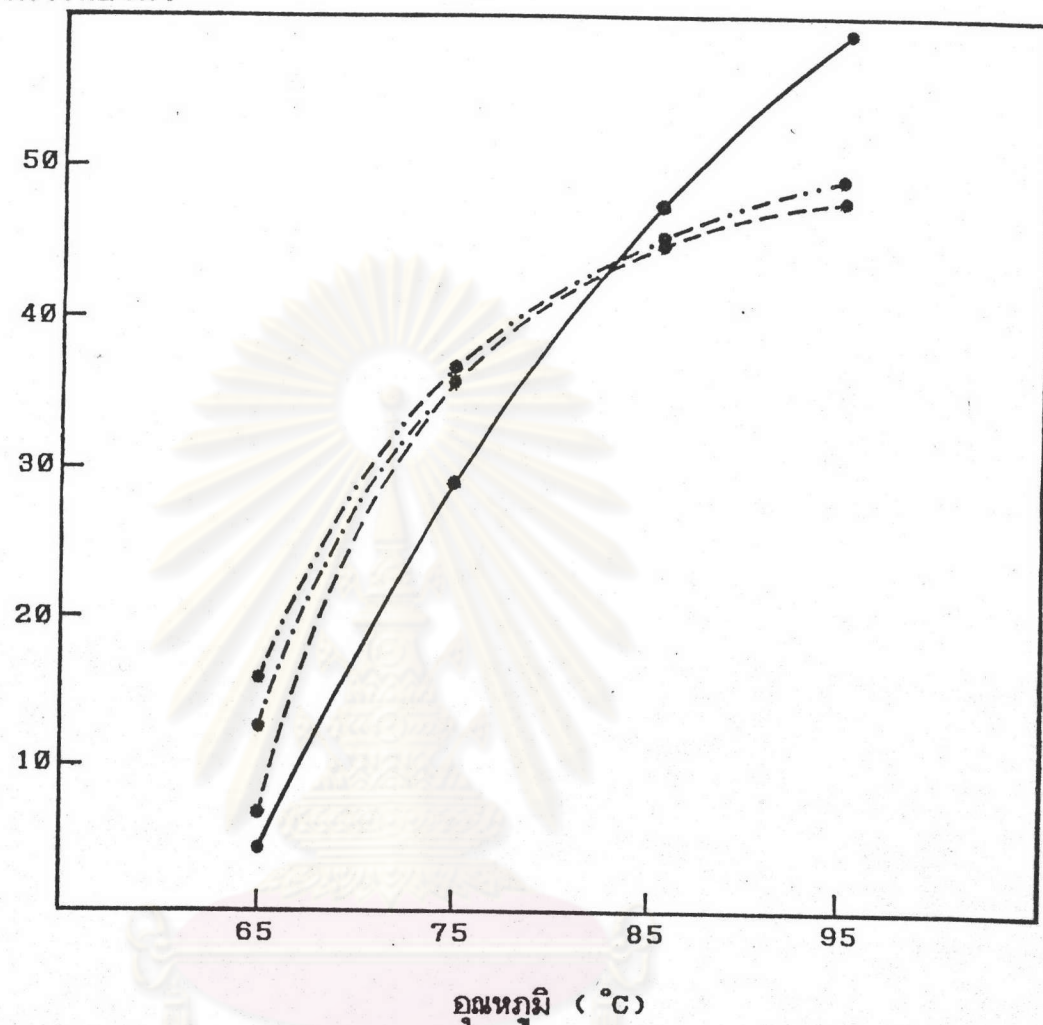
กำลังการพองตัว



รูปที่ 4.8 กำลังการพองตัวที่อุณหภูมิต่างๆของตัวอย่างแป้งไก่ครอกซีโพร์พิลที่ตัดเปรด้วยโพร์พิลน้อยออกไซต์ร้อยละ 5 เป็นเวลาต่างๆกัน เปรียบเทียบกับแป้งมันสำปะหลังธรรมชาติ

- แป้งมันสำปะหลังธรรมชาติ
- - - - แป้งที่ตัดเปรเป็นเวลา 6 ชั่วโมง
- - - - แป้งที่ตัดเปรเป็นเวลา 12 ชั่วโมง
- - - - แป้งที่ตัดเปรเป็นเวลา 24 ชั่วโมง

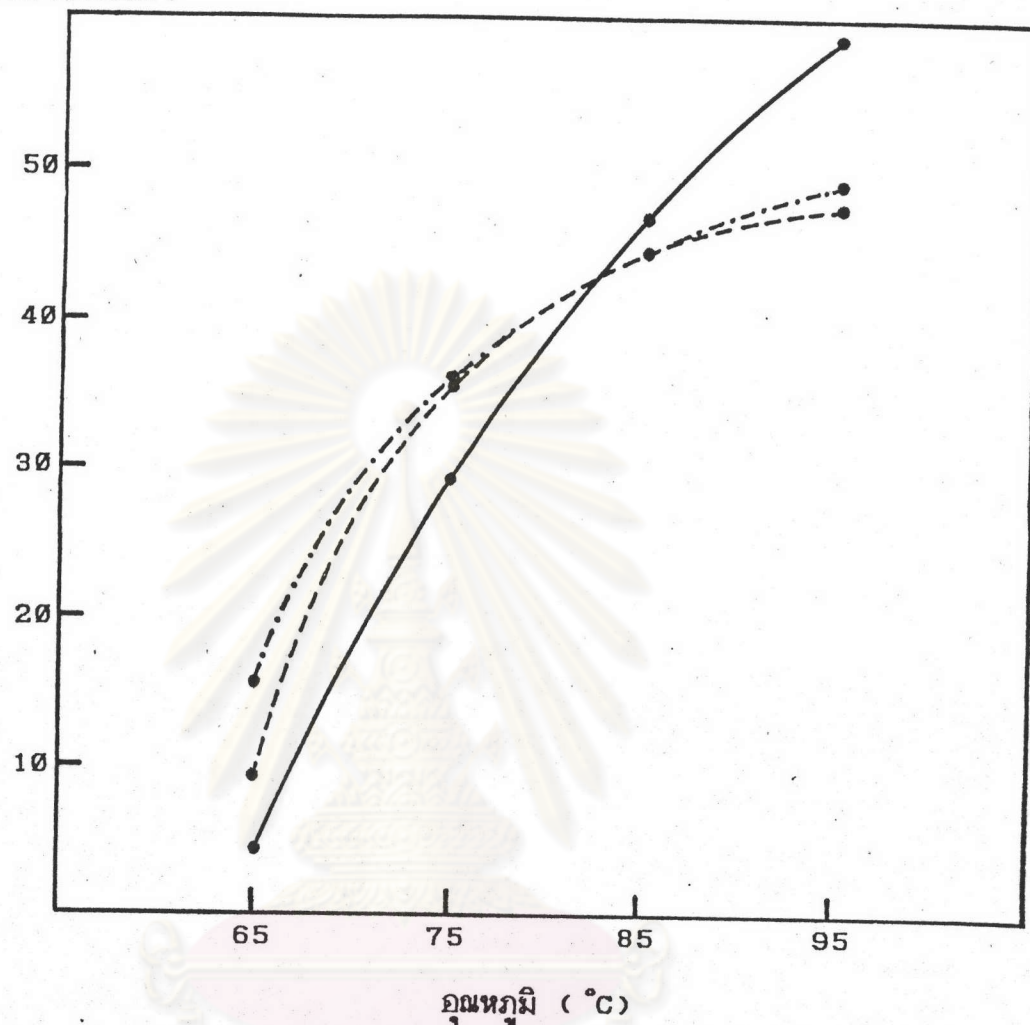
กำลังการพองตัว



รูปที่ 4.9 กำลังการพองตัวที่อุณหภูมิต่างๆของตัวอย่างแบ่งไขดรอกซีโพร์พิลที่ตัดแบบด้วยโพร์พิสินออกไซต์ร้อยละ 7.5 เป็นเวลาต่างๆกัน
เปรียบเทียบกับแบ่งมันสำปะหลังธรรมชาติ

- ————— แบ่งมันสำปะหลังธรรมชาติ
- - - - - แบ่งที่ตัดแบบเป็นเวลา 6 ชั่วโมง
- - - - - แบ่งที่ตัดแบบเป็นเวลา 12 ชั่วโมง
- - - - - แบ่งที่ตัดแบบเป็นเวลา 24 ชั่วโมง

กำลังการพองตัว



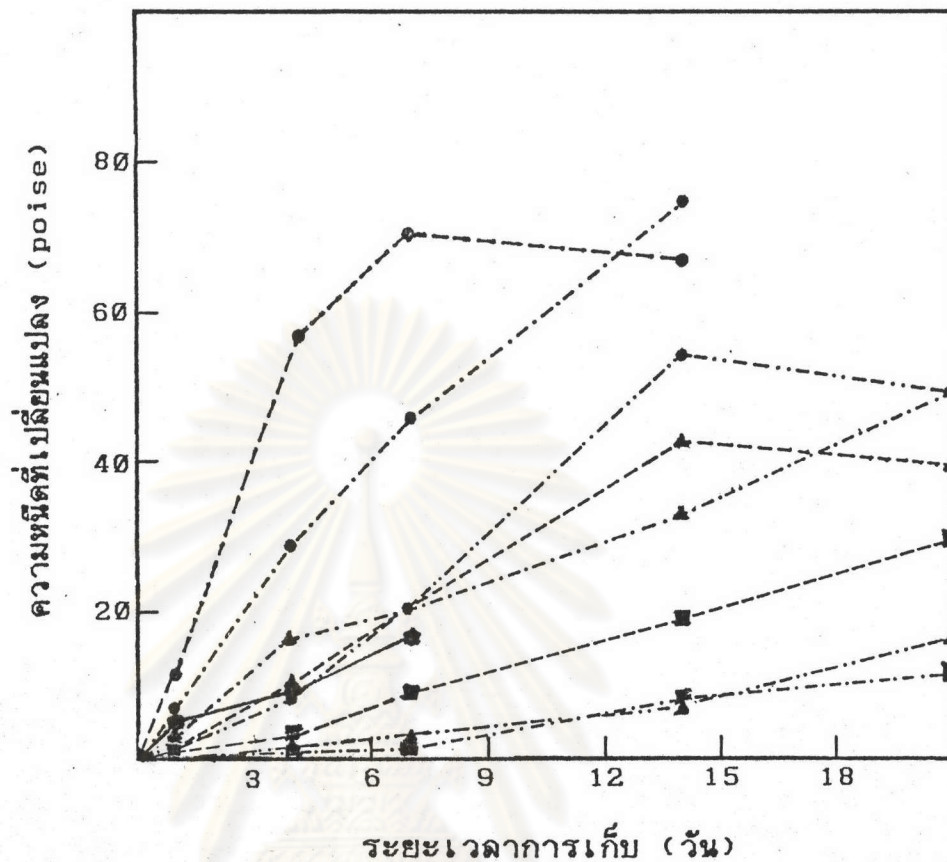
รูปที่ 4.10 กำลังการพองตัวที่อุณหภูมิต่างๆ ของตัวอย่างแบ่งไยดรอกซิฟอร์พิลที่ตัดแปลงด้วยฟอร์พิลินออกไซต์ร้อยละ 10 เป็นเวลาต่างๆ กัน
เปรียบเทียบกับแบ่งมันลำปะหลังธรรมชาติ

- แบ่งมันลำปะหลังธรรมชาติ
- - - - แบ่งที่ดัดแปลงเป็นเวลา 6 ชั่วโมง
- - - - แบบที่ดัดแปลงเป็นเวลา 12 ชั่วโมง

จากการวัดความหนืดของตัวอย่างแบงชีส์ไอ์ดรอกซิฟอร์พิลเบรียบ
เทียบแบงชันสำปะหลังธรรมชาติ ที่ความเข้มข้นร้อยละ 6 (โดยน้ำหนัก) จำนวน 200 กรัม
หลังการทำให้สุกที่อุณหภูมิ $95 \pm 3^{\circ}\text{C}$ นาน 15 นาที ด้วยเครื่อง Brookfield viscometer
โดยใช้เข็มหมายเลข 5 ที่ความเร็ว 5 รอบต่อนาที พบว่า ความหนืดของตัวอย่างแบงชีส์
ฟอร์พิลหลังการทำให้สุกซึ่งวัดขณะที่แบงชีส์ไยค์มีอุณหภูมิ $25 \pm 2^{\circ}\text{C}$ ประมาณ 51.0-59.4 poise
(ตารางที่ 4.7) โดยที่ความหนืดหลังการทำให้สุกของตัวอย่างแบงชีส์ไยค์ฟอร์พิลไม่แตกต่าง
กันอย่างมีนัยสำคัญทางสถิติ (ภาคผนวก ช ตารางที่ 10) เมื่อเก็บรักษาแบงชีส์ไยค์ที่อุณหภูมิ $5 - 7^{\circ}\text{C}$ เป็นระยะเวลาต่างๆ ในระยะแรกความหนืดของตัวอย่างซึ่งวัดขณะที่แบงชีส์ไยค์มีอุณหภูมิ
 $25 \pm 2^{\circ}\text{C}$ จะเพิ่มขึ้น แต่เมื่อระยะเวลาการเก็บมากขึ้น แบงชีส์ไยค์ฟอร์พิลบางตัวอย่างมีความ
หนืดลดลง ความหนืดของแบงชีส์ไยค์ในระหว่างการเก็บที่อุณหภูมิ $5 - 7^{\circ}\text{C}$ จึงแตกต่างกันอย่างมี
นัยสำคัญทางสถิติ (ที่ระดับความเชื่อมั่นร้อยละ 95) (ภาคผนวก ช ตารางที่ 11-12) ดังนี้แนว
โน้มการเปลี่ยนแปลงความหนืดของตัวอย่างแบงชีส์ไยค์ฟอร์พิลในระหว่างการเก็บรักษาที่อุณหภูมิ
 $5 - 7^{\circ}\text{C}$ จึงต่างกัน (รูปที่ 4.11) กล่าวคือ ตัวอย่างแบงชีส์ไยค์ที่ตัดแปร์ต้ายว์ฟอร์พิลินออกไชร์ร้อยละ
5 และ 7.5 (โดยน้ำหนักแบงชีส์ไยค์) เป็นเวลา 6 ชั่วโมง (D.S. 0.019 และ 0.022 ตามลำ
ดับ) เกิดการเปลี่ยนแปลงความหนืดเพิ่มขึ้นอย่างมากในระยะแรกของการเก็บรักษา และเมื่อรา
ยยะเวลาการเก็บเพิ่มเป็น 14 วัน แบงชีส์ไยค์ฟอร์พิลที่ตัดแปร์ต้ายว์ฟอร์พิลินออกไชร์ร้อยละ 5
เป็นเวลา 6 ชั่วโมง มีการเปลี่ยนแปลงความหนืดลดลง นอกจากนี้ลักษณะของแบงชีส์ไยค์ที่ใสและ
เนียนจะหดหลังการเก็บที่อุณหภูมิ $5 - 7^{\circ}\text{C}$ จะเริ่มจับกันเป็นก้อนเนียนขึ้นแล้ว เปลี่ยนเป็นชุ่น
จนกระทั่งชุ่นช้ำ ในที่สุดก็เกิดการแยกของน้ำออกจากแบงชีส์ไยค์ ความเนียนจะก็ลดลง
จึงทำให้แบงชีส์ไยค์ไม่สามารถวัดความหนืดได้อีก แสดงว่า ไม่เหลือ
ของแบงชีส์ไยค์ที่ตัดแปร์ต้ายว์ฟอร์พิลินออกไชร์ร้อยละ 5 และ เกิดตะกอนของก้อนแบงชีส์ไยค์ (ตาราง
ที่ 4.8) เมื่อตัวอย่างไม่เป็นเนื้อเดียวกันจึงไม่สามารถวัดความหนืดได้อีกไป แสดงว่า ไม่เหลือ
ของแบงชีส์ไยค์ที่ตัดแปร์ต้ายว์ฟอร์พิลินออกไชร์ร้อยละ 10 เป็น
เวลา 6 ชั่วโมง (D.S. 0.031) และตัวอย่างแบงชีส์ไยค์ที่ตัดแปร์ต้ายว์ฟอร์พิลินออกไชร์ร้อยละ 5
และ 7.5 เป็นเวลา 12 ชั่วโมง (D.S. 0.035 และ 0.045 ตามลำดับ) ในระยะแรกของ
การเก็บเกิดการเปลี่ยนแปลงความหนืดของตัวอย่างค่อนข้างน้อย แต่แนวโน้มของการเปลี่ยนแปลง

ตารางที่ 4.7 ความหนืดของตัวอย่างแบงค์ไซดรอกซ์ฟอร์พิลเปรียบเทียบกับแบงมันสำปะหลัง
ธรรมชาติ ที่ความเข้มข้นร้อยละ 6 (โดยน้ำหนักแบงค์แบง) อุณหภูมิของแบงค์
 $25 \pm 2^{\circ}\text{C}$ วัดด้วยเครื่อง Brookfield viscometer

ตัวอย่างแบงค์ไซดรอกซ์ฟอร์พิล		ความหนืดที่วัดได้ (poise)					
ฟอร์พิลล์อกไซต์ (ร้อยละ)	เวลา (ชม.)	ระยะเวลาการเก็บรักษา (วัน)					
		0	1	4	7	14	21
5	6	59.4	70.2	115.0	129.1	118.7	
	12	54.4	56.0	64.8	73.4	97.2	
	24	57.0	56.6	58.6	62.8	68.0	85.2
7.5	6	51.0	59.4	79.6	96.4	125.6	
	12	53.6	55.2	70.0	73.6	96.2	102.6
	24	53.0	59.4	54.0	54.6	61.2	64.8
10	6	55.8	57.2	64.2	76.4	120.4	115.0
	12	56.0	56.4	56.8	58.0	66.0	72.2
ตัวอย่างแบงมันสำปะหลัง		31.2	37.5	39.9	46.7	7.8	



รูปที่ 4.11 ความหนืดที่เกิดการเปลี่ยนแปลงของตัวอย่างแบ่งไยดรอกซิโพร์พิล
และแบ่งมันสำปะหลังธรรมชาติ หลังการเก็บรักษาที่อุณหภูมิ 5 °-
7 °C เป็นระยะเวลาต่างๆ วัดด้วยเครื่อง Brookfield
viscometer (เปรียบเทียบกับความหนืดของแบ่งก่อนการเก็บ)

แบ่งมันสำปะหลังธรรมชาติ

ตัวอย่างที่ดัดแปลงด้วยโพร์พิลน้อยกว่า 7.5% ร้อยละ 5

ตัวอย่างที่ดัดแปลงด้วยโพร์พิลน้อยกว่า 7.5% ร้อยละ 7.5

ตัวอย่างที่ดัดแปลงด้วยโพร์พิลน้อยกว่า 7.5% ร้อยละ 10

● ตัวอย่างที่ดัดแปลงเป็นเวลา 6 ชั่วโมง

▲ ตัวอย่างที่ดัดแปลงเป็นเวลา 12 ชั่วโมง

■ ตัวอย่างที่ดัดแปลงเป็นเวลา 24 ชั่วโมง

ตารางที่ 4.8 ลักษณะของตัวอย่างเม็ดปูนอุดรอกซีโพรัลและเม็ดปูนสำบะหงส์ชาร์มชาติที่ความชื้น ร้อยละ 6 (โดยน้ำหนักเม็ดหัก) หลังการทำให้สุกและหลังการเก็บที่อุณหภูมิ 5° - 7°C เป็นระยะเวลาต่างๆ

ตัวอย่างเม็ดปูน ไอดรอกซีโพรัล		ลักษณะของเม็ดปูนเปียกที่สั่งเกตเวย์					
โพรัลลินอุดรอกซี (ร้อยละ)	เวลา (ชม.)	ระยะเวลาการเก็บ (วัน)					
		0	1	4	7	14	21
5	6	ใส	ใสน้อยลงและจับ เป็นก้อนเนื้อๆ	เริ่มชุ่นและ เหนียวมาก	เริ่มชุ่นขาว มีน้ำเยก ออกมา	ชุ่นขาว มีน้ำและตะกอน ของก้อนเม็ดปูนเกิดขึ้น	น้ำเยกออกมาก
	12	ใส	ใสน้อยลง	ไม่เปลี่ยนแปลง	ไม่เปลี่ยนแปลง	เริ่มชุ่นและจับเป็นก้อน	ชุ่นมากขึ้น
	24	ใส	ใสน้อยลง	ไม่เปลี่ยนแปลง	ไม่เปลี่ยนแปลง	ไม่เปลี่ยนแปลง	ไม่เปลี่ยนแปลง
	6	ใส	ใสน้อยลง	จับกันเป็นก้อน เนื้อๆ	ชุ่นมากขึ้น	ชุ่นขาวและมีน้ำเยก ออกมา	เกิดตะกอนของก้อน เม็ดปูน
	12	ใส	ใสน้อยลง	ไม่เปลี่ยนแปลง	ไม่เปลี่ยนแปลง	ใสน้อยลงอีกเล็กน้อย	ไม่เปลี่ยนแปลง
	24	ใส	ใสน้อยลงเล็ก น้อย	ไม่เปลี่ยนแปลง	ไม่เปลี่ยนแปลง	ไม่เปลี่ยนแปลง	ไม่เปลี่ยนแปลง
7.5	6	ใส	ใสน้อยลง	เริ่มชุ่น	ไม่เปลี่ยนแปลง	ชุ่นมากขึ้น	ชุ่นขาว
	12	ใส	ใสน้อยลง	ไม่เปลี่ยนแปลง	ไม่เปลี่ยนแปลง	ไม่เปลี่ยนแปลง	ไม่เปลี่ยนแปลง
10	6	ใส	ใสน้อยลง	เริ่มชุ่น	ไม่เปลี่ยนแปลง	ชุ่นมากขึ้น	ชุ่นขาว
	12	ใส	ใสน้อยลง	ไม่เปลี่ยนแปลง	ไม่เปลี่ยนแปลง	ไม่เปลี่ยนแปลง	ไม่เปลี่ยนแปลง
	24	ใส	ใสน้อยลง	เริ่มชุ่น	ไม่เปลี่ยนแปลง	ไม่เปลี่ยนแปลง	ไม่เปลี่ยนแปลง
	48	ใส	ใสน้อยลง	เริ่มชุ่น	ไม่เปลี่ยนแปลง	ไม่เปลี่ยนแปลง	ไม่เปลี่ยนแปลง
ตัวอย่างเม็ดปูนสำบะหงส์		ใส	เริ่มชุ่น	ชุ่นขาวและเริ่ม มีน้ำ	เม็ดปูนจับกันเป็นก้อน และมีน้ำเยก	น้ำเยกออกมาก	

จะมากขึ้นเมื่อระยะเวลาการเก็บเพิ่มขึ้น อย่างไรก็ตาม ลักษณะปรากฏของแป้งเปียกจะเกิดการเปลี่ยนแปลงไม่มากนักแม้ว่าระยะเวลาการเก็บเพิ่มขึ้น แสดงว่า โมเลกุลของแป้งเกิดการคืนตัวเพียงปานกลางและแป้งเปียกมีความคงตัวดี สำหรับตัวอย่างแป้งที่ตัดแบบร้าวโดยไฟฟ้า 0.072 และตัวอย่างแป้งที่ตัดแบบร้าวโดยไฟฟ้า 0.058 และ 0.074 (ตามลำดับ) เกิดการเปลี่ยนแปลงความหนืดและลักษณะปรากฏของแป้งเปียกน้อยมากตลอดระยะเวลาการเก็บ 21 วัน แสดงว่า แป้งเกิดการคืนตัวช้าและน้อยมาก แป้งจึงมีความคงตัวหรือเสถียรภาพในระหว่างการเก็บรักษามาก ทั้งนี้ เพราะเมื่อโมเลกุลของแป้งเกิดการแทนที่ของน้ำโดยออกซิโพรพิลจะเกิดการรวมตัวกันตามแนวเส้นตรงยากขึ้น แต่โมเลกุลของแป้งจะสร้างผนังระหว่างตัวสารกอญ้ำได้ดี (32) การเปลี่ยนแปลงความหนืดและลักษณะปรากฏในระหว่างการเก็บจึงช้าและน้อย เมื่อเทียบกับแป้งมันสำปะหลังธรรมชาติ จะเห็นว่า ความหนืดหลังการทำให้สุกของแป้งโดยออกซิโพรพิลมากกว่าแป้งมันสำปะหลังธรรมชาติซึ่งมีค่าเฉลี่ยเพียง 33.0 poise (ตารางที่ 4.7) ในระหว่างการเก็บรักษาที่อุณหภูมิ $5^{\circ} - 7^{\circ}\text{C}$ แป้งมันสำปะหลังเกิดการเปลี่ยนแปลงความหนืดเพียงปานกลาง แต่ลักษณะปรากฏของแป้งเปียกจะเปลี่ยนเป็นขุ่นขาวและเกิดการแยกของน้ำออกจากเร็วกว่าแป้งโดยออกซิโพรพิล กล่าวคือ หลังการเก็บเพียง 4 วัน แสดงว่า แป้งมันสำปะหลังเกิดการคืนตัวเร็วและมากกว่าแป้งโดยออกซิโพรพิล และก็ว่าแป้งเกิดการคืนตัวอย่างสมบูรณ์เนื่องจากไม่สามารถเปลี่ยนแปลงลักษณะปรากฏของแป้งเปียกที่เกิดขึ้นดังกล่าวให้ย้อนกลับสู่ลักษณะเดิมของแป้งเปียกหลังการทำให้สุกได้อีก (68) แม้ว่าองค์ประกอบส่วนใหญ่ของแป้งมันสำปะหลังจะเป็นอะไรมอลิเคนที่ชื่นชอบตัวอย่างของสารที่เข้าหากันอย่างช้าๆ และเกิดการรวมตัวตามบริเวณที่ก้านต้านออกของอะไรมอลิเคนมากขึ้น ความหนืดจึงเพิ่มขึ้น ความหนาแน่นของโมเลกุลที่เกิดการรวมตัวกันจะเพิ่มขึ้นทำให้แป้งเปียกมีลักษณะขุ่นและเมื่อจับกันเป็นก้อนมากขึ้นก็จะเปลี่ยนเป็นขุ่นขาว (69) แรงดึงเหนี่ยวจะห่วงโมเลกุลแป้งจึงเพิ่มขึ้น ส่งผลให้แรงดึงเหนี่ยวจะห่วงโมเลกุลแป้งกับน้ำลดลง จนกระทั่งเกิดการแยกของน้ำกับตะกอนแป้งขึ้น การตัดแบบร้าวมันสำปะหลังด้วยปฏิกิริยาแทนที่ของน้ำโดยออกซิโพรพิลทำให้การรวมตัวกันตามแนวเส้นตรงของบริเวณที่ก้านต้านออกเกิดน้อยลง จึงทำ

ให้แบ่งตัดแปรที่ได้มีความคงตัวหรือเล็กน้อยของปั๊ม เป็นกันระหว่างการเก็บที่ $5^{\circ}-7^{\circ}\text{C}$ ตีชั้น

การวิจัยชั้นในต่อไปจะเลือกแบ่งไยดรอกซิฟอร์พิลที่ได้จากการตัดแปรด้วยฟอร์พิลินออกไซต์ ร้อยละ 7.5 และ 10 (โดยน้ำหนักแบ่งหนึ้ง) เป็นเวลา 12 ชั่วโมง ซึ่งมีระดับการแทนที่ของหมูไยดรอกซิฟอร์พิลต่างกันเป็น 2 ระดับ และมีเล็กน้อยในระหว่างการเก็บที่อุณหภูมิ $5^{\circ}-7^{\circ}\text{C}$ ตี เพื่อใช้ศึกษาการตัดแปรด้วยปฏิกิริยาเชื่อมขาวงโดยใช้โซเดียมไฮดรอกซิฟอร์พิลและฟอลเฟต

4.3.2 ตัดแปรแบ่งไยดรอกซิฟอร์พิลด้วยปฏิกิริยาเชื่อมขาวงโดยใช้โซเดียมไฮดรอกซิฟอร์พิลและฟอลเฟต

จากการวิเคราะห์ตัวอย่างแบ่งไยดรอกซิฟอร์พิล ไอลส์ทาร์ฟอลเฟตที่ได้จากการตัดแปรแบ่งไยดรอกซิฟอร์พิลที่มีระดับการแทนที่ 0.047 และ 0.075 ด้วยปฏิกิริยาเชื่อมขาวงโดยใช้โซเดียมไฮดรอกซิฟอร์พิล ร้อยละ 0.3 (โดยน้ำหนักแบ่งหนึ้ง) เป็นเวลา 1, 1.5, 2 3 และ 4 ชั่วโมง พบว่า มีปริมาณความชื้นเฉลี่ย ร้อยละ 11.37-12.86 (โดยน้ำหนัก) และความเป็นกรด-ด่างเฉลี่ย 6.43-6.59 โดยปริมาณความชื้นและความเป็นกรด-ด่างของตัวอย่างไม่แตกต่างกันอย่างมีนัยสำคัญทางสถิติ (ภาคผนวก ข ตารางที่ 13) สำหรับปริมาณฟอลเฟตที่วิเคราะห์ในรูปของฟอลฟอร์ลิขนอยู่กับระดับการแทนที่ของหมูไยดรอกซิฟอร์พิลและเวลาที่ใช้ในการตัดแปร (ตารางที่ 4.9) โดยปริมาณฟอลเฟตของตัวอย่างแบ่งที่ตัดแปรจากแบ่งไยดรอกซิฟอร์พิลที่มีระดับการแทนที่ต่างกันน้อยกว่าตัวอย่างแบ่งที่มีระดับการแทนที่สูง เมื่อเวลาที่ใช้ในการเกิดปฏิกิริยาเท่ากัน และการเพิ่มเวลาที่ใช้ในการตัดแปรทำให้ปฏิกิริยาเชื่อมขาวงเกิดมากขึ้น ปริมาณฟอลเฟตในตัวอย่างแบ่งจึงเพิ่มขึ้น ตั้งนี้จากการตัดแปรแบ่งไยดรอกซิฟอร์พิลที่มีระดับการแทนที่ต่างกันด้วยปฏิกิริยาเชื่อมขาวงโดยใช้โซเดียมไฮดรอกซิฟอร์พิลเป็นเวลาต่างๆ จึงมีปริมาณฟอลเฟตที่เพิ่มขึ้นในตัวอย่างแบ่งต่างกัน จากการวิเคราะห์ความประปานทางสถิติ พบว่า ระดับการแทนที่และเวลาที่ใช้ในการตัดแปรมีผลทำให้ปริมาณฟอลเฟตที่เพิ่มขึ้นแตกต่างกันอย่างมีนัยสำคัญทางสถิติ (ที่ระดับการเชื่อมร้อยละ 95) (ภาคผนวก ข ตารางที่ 14) และปริมาณฟอลเฟตที่เพิ่มขึ้นในแบ่ง

ตารางที่ 4.9 ปริมาณฟอสเฟตในตัวอย่างปั๊มไฮดรอกซิฟอร์ฟิลไดสตาาร์ฟอสเฟต

ตัวอย่างปั๊ม		ปริมาณที่วิเคราะห์ได้ (ร้อยละ, โดยน้ำหนักปั๊มแห้ง)		
ชนิดการ แยก	เวลา (ชั่วโมง)	ฟอสฟอรัส $\times 10^3$	ฟอสเฟต $\times 10^2$	ฟอสเฟตที่เพิ่มขึ้น $\times 10^2$
0.047	1	6.44 \pm 0.16	1.97	0.13
	1.5	6.89 \pm 0.10	2.11	0.27
	2	7.62 \pm 0.23	2.34	0.50
	3	9.05 \pm 0.15	2.77	0.93
	4	9.82 \pm 0.18	3.01	1.17
0.075	1	7.15 \pm 0.25	2.19	0.35
	1.5	7.76 \pm 0.26	2.38	0.54
	2	8.63 \pm 0.33	2.65	0.81
	3	9.74 \pm 0.08	2.99	1.15
	4	10.36 \pm 0.18	3.18	1.34
ปั๊มมันสำปะหลัง		6.00 \pm 0.20	1.84	

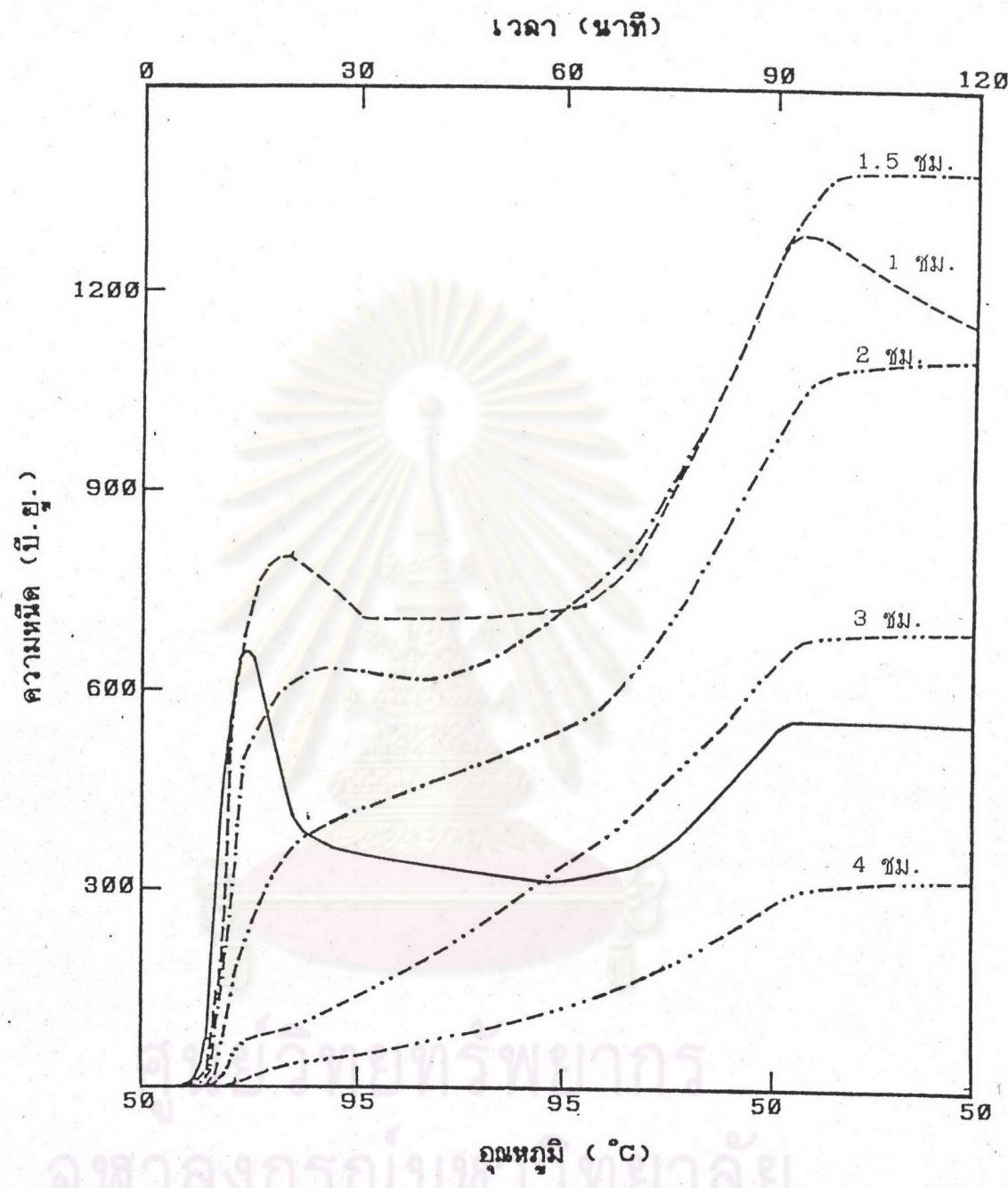
โดยรอกซิฟอร์พิลไอลสตาร์ฟอสเฟตเนื่องจากการตัดแปรตัวยปฏิกิริยา เชื่อมขาวทำให้ตัวอย่างแบงมีระดับการเชื่อมขาวเกิดขึ้นประมาณ 4,376-45,190 หน่วยกลูโคสต่อ 1 พัน雷ฟอสเฟต (ตารางที่ 4.10) จึงจัดเป็นแบงที่มีระดับการเชื่อมขาวต่ำ นอกจานบปริมาณฟอสเฟตในตัวอย่างแบงที่เคราะห์ในรูปของปริมาณฟอสฟอรัลมีน้อยกว่า ร้อยละ 0.04 (โดยน้ำหนักแบงแห้ง) ดังนั้นปริมาณฟอสเฟตตกค้างจึงไม่เกินปริมาณมาตรฐานที่กำหนดให้มีตกค้างได้ในแบงตัดแปรตัวยปฏิกิริยาเคมีที่เกิดจากหมู่ฟอสเฟตซึ่งต้องการใช้เป็นวัตถุเชื้อปนในอาหารโดยมิได้ตัดแยกจากแบงสาลีหรือแบงมันฝรั่ง (26,27)

จากการศึกษาการเปลี่ยนแปลงความหนืดของตัวอย่างแบง ไอลรอกซิฟอร์พิลไอลสตาร์ฟอสเฟตที่อุณหภูมิต่างๆ ใน heating-cooling cycle ที่ความเข้มข้นร้อยละ 6 (โดยน้ำหนัก) pH 6.5 ด้วยเครื่อง Brabender Visco-Amylograph เบรียบเทียนกับแบงไอลรอกซิฟอร์พิลก่อนเกิดปฏิกิริยา เชื่อมขาว (รูปที่ 4.12-4.13) พบว่า ความหนืดของตัวอย่างแบงไอลรอกซิฟอร์พิลไอลสตาร์ฟอสเฟตเริ่มเปลี่ยนแปลงช้ากว่าแบงไอลรอกซิฟอร์พิล ทั้งนี้ เพราะพันธะของฟอสเฟตที่เชื่อมขาวระหว่างโมเลกุลแบง เป็นพันธะโควาเลนต์ซึ่งมีแรงยึดเหนี่ยวมาก โครงสร้างภายในเม็ดแบงจังหวัดแข็งแรงขึ้น (8) ผลลัพธ์ที่ต้องใช้เพื่อให้เกิดการเจลาตินเซ็นจิงมากขึ้น ทำให้อุณหภูมิสูของตัวอย่างแบงไอลรอกซิฟอร์พิลไอลสตาร์ฟอสเฟตสูงกว่าแบงไอลรอกซิฟอร์พิล (ตารางที่ 4.11) และอุณหภูมิสูงที่เพิ่มขึ้นของตัวอย่างแบงที่มีปริมาณฟอสเฟตสูงจะมากกว่าตัวอย่างแบงที่มีปริมาณฟอสเฟตต่ำ โดยระดับการแทนที่และเวลาที่ใช้ในการตัดแปรเมลกลทำให้อุณหภูมิสูงที่เพิ่มขึ้นของตัวอย่างแบงแตกต่างกันอย่างมีนัยสำคัญทางสถิติ (ตารางที่ 15) ดับความเชื่อมันร้อยละ 95) (ภาคผนวก ๖ ตารางที่ 15)

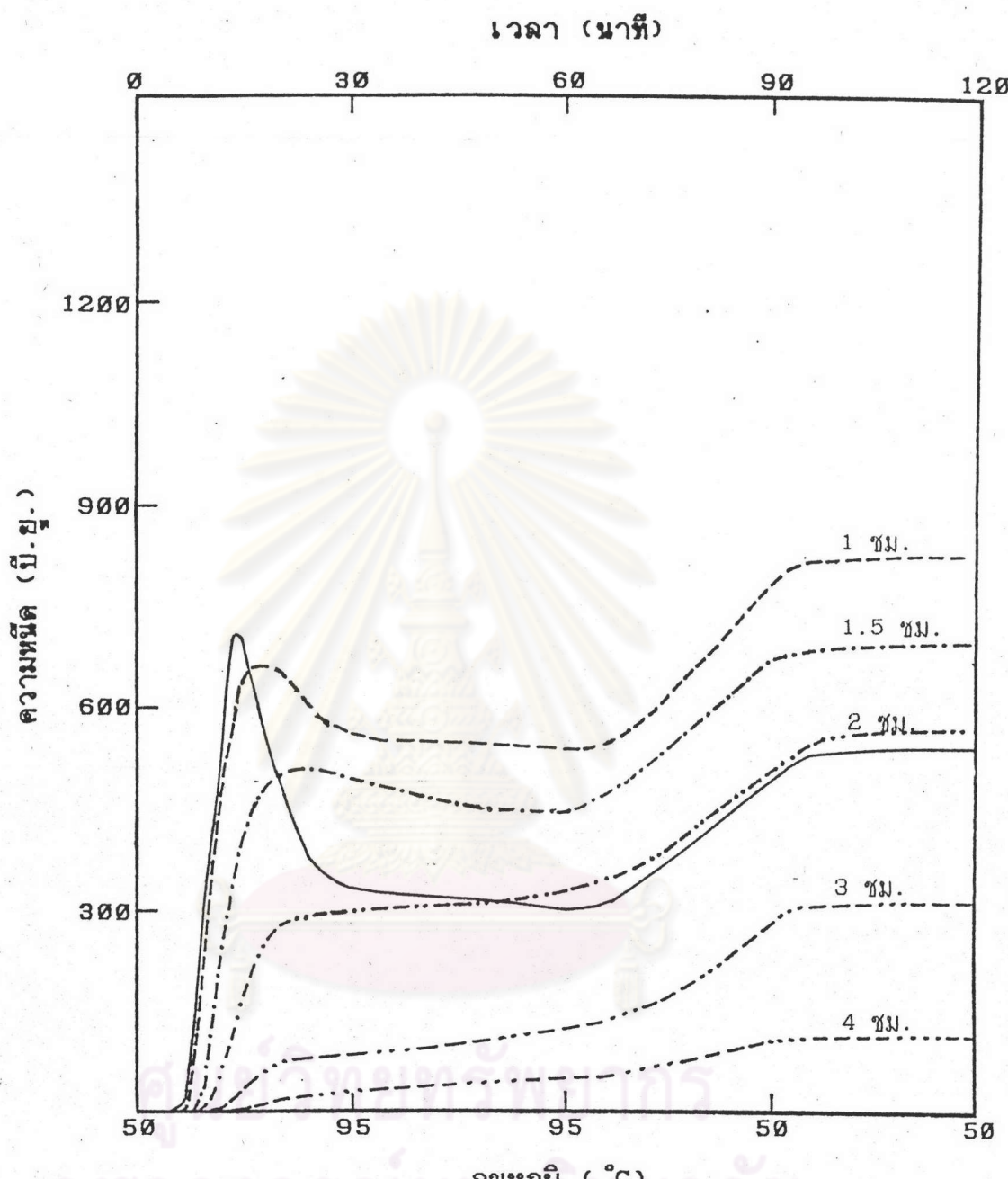
รูปแบบ Brabender Visco-Amylogram ของแบงไอลรอกซิฟอร์พิลไอลสตาร์ฟอสเฟตแต่ละตัวอย่างมีลักษณะที่แตกต่างกันและต่างจากแบงไอลรอกซิฟอร์พิล (รูปที่ 4.12-4.13) จะเห็นว่า ตัวอย่างแบงไอลรอกซิฟอร์พิลไอลสตาร์ฟอสเฟตที่ได้จากการเกิดปฏิกิริยา เชื่อมขาวเป็นเวลา 1 และ 1.5 ชั่วโมง ในช่วง heating เม็ดแบงบางส่วนแตกออกทำให้ความหนืดลดลงเล็กน้อย จึงมีจุดสูงลุดของความหนืดอย่างชัดเจน อย่างไรก็ตาม เมื่อ

ตารางที่ 4.10 ระดับการแทนที่และระดับการเชื่อมขาวงของหมู่ฟองส์เฟตในตัวอย่างแบ่งไข่
ครอกซ์โพร์พิลไอลสตาร์ชฟองส์เฟต

ตัวอย่างแบ่ง		ระดับการตัดแยกของหมู่ฟองส์เฟต	
ระดับการแทนที่	เวลา (ชั่วโมง)	ระดับการแทนที่ $\times 10^4$	ระดับการเชื่อมขาวง (หน่วยกลูโคสต่อผนังชา)
0.047	1	0.22	45,109
	1.5	0.46	21,719
	2	0.85	11,728
	3	1.59	6,305
	4	2.00	5,012
0.075	1	0.60	16,754
	1.5	0.92	10,859
	2	1.38	7,239
	3	1.96	5,099
	4	2.29	4,376



รูปที่ 4.12 Brabender Visco-Amylogram ของตัวอย่างแป้งปั้งไยดรอกซิฟอร์พิลไดส์ทาร์ชฟอลเฟทที่ตัดแยกจากแป้งไยดรอกซิฟอร์พิลที่มีระดับการแทนที่ 0.047 เป็นเวลาต่างๆ เปรียบเทียบกับแป้งปั้งไยดรอกซิฟอร์พิลที่ความเข้มข้นร้อยละ 6 pH 6.5



รูปที่ 4.13 Brabender Visco-Amylogram ของต้าอย่างแบ่งไยดรอกซิฟอร์พิลไอลสตาเรนฟอล เฟตที่ตัดแยกแบ่งไยดรอกซิฟอร์พิลที่มีระดับการแทนที่ 0.075 เป็นเวลาต่างๆ เปรียบเทียบกับแบ่งไยดรอกซิฟอร์พิลที่ความเข้มข้นร้อยละ 6 pH 6.5

ตารางที่ 4.11 อุณหภูมิสุกของตัวอย่างแบง்ไอกಡอกชีฟอร์พิลไคลสตาร์ชฟอลเฟตเปรี้ยเทียบกับ
แบง்ไอกಡอกชีฟอร์พิล ที่ความเข้มข้น ร้อยละ 6 pH 6.5 วัดด้วยเครื่อง
Brabender Visco-Amylograph

แบง்ไอกಡอกชีฟอร์พิลไคลสตาร์ชฟอลเฟต		อุณหภูมิสุก เฉลี่ย ($^{\circ}\text{C}$)	อุณหภูมิที่เพิ่มขึ้น ($^{\circ}\text{C}$)
ระดับการแทนที่	เวลา(ชั่วโมง)		
0.047	1	62.4 \pm 0.2	0.2
	1.5	62.7 \pm 0.1	0.5
	2	63.5 \pm 0.2	1.3
	3	64.6 \pm 0.4	2.4
	4	65.8 \pm 0.3	3.6
0.075	1	61.7 \pm 0.3	0.6
	1.5	62.6 \pm 0.4	1.5
	2	63.3 \pm 0.4	2.2
	3	65.1 \pm 0.4	4.0
	4	66.5 \pm 0.1	5.4
แบง்ไอกಡอกชีฟอร์พิลที่มี D.S. 0.047		62.2 \pm 0.4	
แบง்ไอกಡอกชีฟอร์พิลที่มี D.S. 0.075		61.1 \pm 0.6	

เวลาเกิดปฏิกิริยา เชื่อมข้างเพิ่มขึ้นแป้งที่ได้จะมีผลต่างของความหนืดระหว่างจุดสูงสุดกับที่ 95°C หรือ 95°C นาน 30 นาที จะลดลง จนในที่สุด Brabender Visco-Amylogram ของตัวอย่างแป้งที่ตัดแปราร์เม็นเวลา 2, 3 และ 4 ชั่วโมง ไม่ปรากฏจุดสูงสุดของความหนืดอย่างชัดเจน จึงทำให้มีค่าผลต่างของความหนืดระหว่างจุดสูงสุดกับที่ 95°C หรือ 95°C นาน 30 นาที แสดงว่า ความแข็งแรงของเม็ดแป้งเนื่องจากการเกิดปฏิกิริยาเชื่อมข้างระหว่างวิธีนี้ด้อยกว่า ผ่านกระบวนการตัดของหมู่ฟอลเฟต ทำให้แป้งมีเสถียรภาพของความหนืดต่อความร้อนและแรงกระแทกเพิ่มขึ้น ซึ่งเม็ดแป้งจะดูดน้ำและเกิดการพองตัวในขณะให้ความร้อนเข้าและน้ำย่องจะกระเด็นไป ไม่เกิดการแตกของเม็ดแป้ง แต่ความหนืดของแป้งยังคงเพิ่มขึ้นตลอดระยะเวลาใน heating-cooling cycle เพราะการดูดน้ำและพองตัวของเม็ดแป้งยังคงดำเนินเพิ่มขึ้นอยู่ต่อไปซึ่งทำให้น้ำที่หล่อล้วนอยู่ภายในกลดลง ความหนืดจึงสูงขึ้น เมื่อเข้าสู่ช่วง cooling ความหนืดของตัวอย่างแป้งໄย่ครอกซิโพร์พิลไคลสตาร์ฟอลเฟตจะเพิ่มขึ้นและส่วนใหญ่เริ่มคงที่หลังจากความคุณอุณหภูมิที่ 50°C เป็นระยะเวลาหนึ่ง ยกเว้นตัวอย่างแป้งที่ตัดแปราร์เม็นแป้งไยครอกซิโพร์พิลที่มีระดับการแทนที่ 0.047 เป็นเวลา 1 ชั่วโมง ความหนืดจะลดลง จากการวิเคราะห์ความแปปร่วบน พบว่า ระดับการแทนที่ของหมู่ไยครอกซิโพร์พิล เวลา และผลร่วมระหว่างระดับการแทนที่กับเวลาที่ใช้ในการตัดแปร มีผลทำให้ความหนืดของตัวอย่างแป้งไยครอกซิโพร์พิลไคลสตาร์ฟอลเฟตที่ 95°C , 95°C นาน 30 นาที, 50°C , 50°C นาน 30 นาที แตกต่างกันอย่างมีนัยสำคัญทางสถิติ (ที่ระดับความเชื่อมั่นร้อยละ 95) (ภาคผนวก ช ตารางที่ 16-17) เมื่อเปรียบเทียบการเปลี่ยนแปลงของความหนืดในช่วง cooling ระหว่างความหนืดที่ 95°C นาน 30 นาที กับที่ 50°C จะเห็นว่า ตัวอย่างแป้งไยครอกซิโพร์พิลไคลสตาร์ฟอลเฟตที่ตัดแปรจากแป้งไยครอกซิโพร์พิลที่มีระดับการแทนที่ 0.047 มีอัตราการเพิ่มขึ้นประมาณ 1.72-2.86 เท่า ส่วนตัวอย่างแป้งที่ตัดแปรจากแป้งไยครอกซิโพร์พิลที่ 0.075 มีอัตราการเพิ่มขึ้นประมาณ 1.31-2.24 เท่า (ตารางที่ 4.12) โดยส่วนใหญ่อัตราการเพิ่มของความหนืดจะมากขึ้นเมื่อเวลาในการเกิดปฏิกิริยาเชื่อมข้างเพิ่มขึ้น แสดงว่าขณะที่แป้งได้รับความร้อนความหนืดจะเพิ่มขึ้นเข้าและน้ำย่องมากจึงมีลักษณะเหลวแต่แป้งจะมีลักษณะที่ขึ้นหนึบมากขึ้นในช่วง cooling ตั้งนี้แป้งไยครอกซิโพร์พิลไคลสตาร์ฟอลเฟตจึงเป็นพวก Thin-thick starch (55) อย่างไรก็ตาม ตัวอย่างแป้งที่มีปริมาณฟอลเฟตเพิ่มขึ้นมีผลต่างของความหนืดระหว่างที่ 95°C นาน 30 นาที กับที่ 50°C น้อยกว่าแป้งที่มี

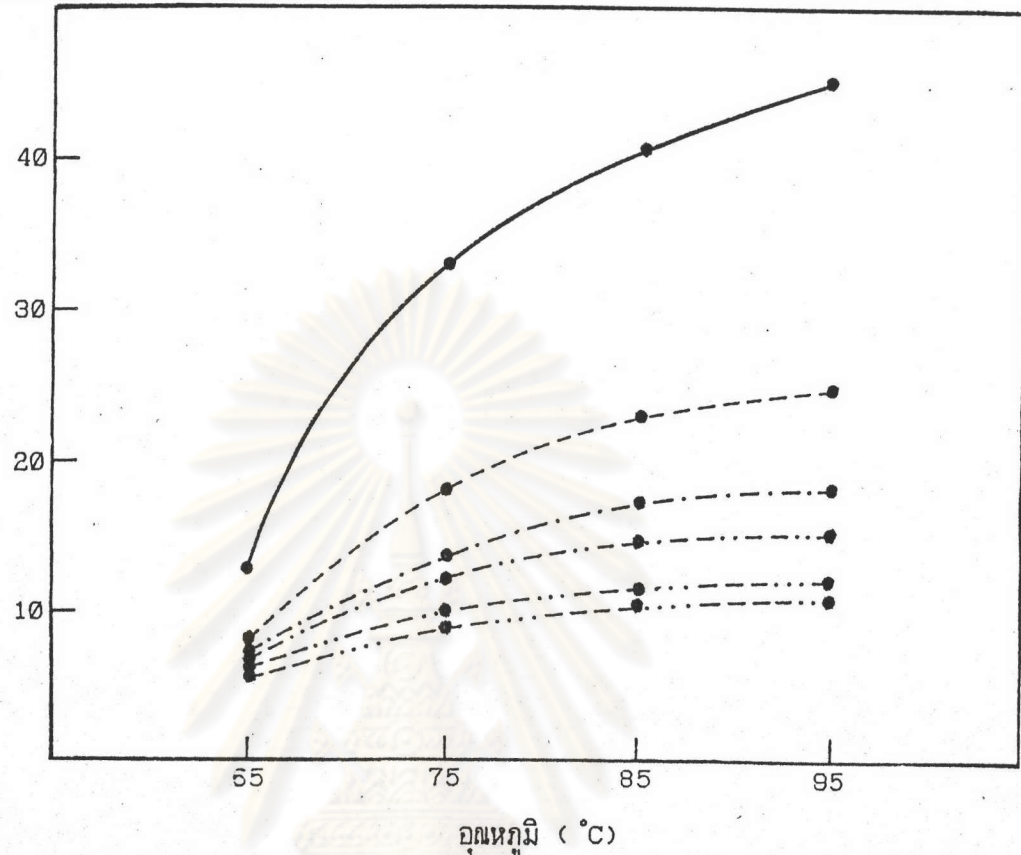
ตารางที่ 4.12 เปรียบเทียบอัตราการเพิ่มและผลต่างของความหนืดในช่วง cooling ของตัวอย่างแบ่งไอดรอกซิโพร์พิลไดสตาร์ชฟอลล์ฟล

แบ่งไอดรอกซิโพร์พิลไดสตาร์ชฟอลล์ฟล		ผลการเปรียบเทียบความหนืด	
ระดับการแทนที่	เวลา (นาที)	อัตราการเพิ่ม (เท่า)	ผลต่าง (ปี. ส.)
0.047	1	1.72 ± 0.12	518 ± 39
	1.5	1.74 ± 0.03	533 ± 39
	2	1.74 ± 0.23	420 ± 28
	3	1.91 ± 0.03	305 ± 14
	4	2.86 ± 0.08	228 ± 4
0.075	1	1.31 ± 0.11	218 ± 46
	1.5	1.46 ± 0.08	190 ± 0
	2	1.58 ± 0.05	233 ± 4
	3	2.24 ± 0.13	195 ± 0
	4	2.17 ± 0.23	68 ± 4

ปริมาณฟอสเฟตน้อย (ตารางที่ 4.12) แสดงว่า เม็ดที่เกิดปฏิกิริยาเชื่อมขาวมากจะเกิดการคืนตัวของแป้งเปียกเนื่องจาการรวมตัวระหว่างโมเลกุลที่กระจายออกจากเม็ดแป้งแต่ก่อนอย่างผลที่ได้สอดคล้องกับของ Kite และคณ (45) ที่ศึกษา Brabender Visco-Amylogram ของแป้งไดสตาร์ชฟอสเฟตที่ตัดแยกจาก waxy sorghum starch ด้วยโซเดียมไตรเมตาฟอสเฟตบริมามต่างๆ

จากการตรวจสอบกำลังการพองตัวของตัวอย่างแป้งไอกrogกี้โพร์พิลไดสตาร์ชฟอสเฟตที่อุณหภูมิ 65° , 75° , 85° และ 95°C พบว่า เมื่ออุณหภูมิสูงขึ้นกำลังการพองตัวเพิ่มขึ้นเล็กน้อย (รูปที่ 4.14-4.15) แป้งไอกrogกี้โพร์พิลไดสтар์ชฟอสเฟตแต่ละตัวอย่างมีกำลังการพองตัวเฉลี่ยที่อุณหภูมิ 85° และ 95°C ไม่แตกต่างกันอย่างมีนัยสำคัญทางสถิติ (ที่ระดับความเชื่อมั่นร้อยละ 95) แสดงว่า การเกิดปฏิกิริยาเชื่อมขาวระหว่างโมเลกุลแป้งไอกrogกี้โพร์พิลด้วยหมู่ฟอสเฟต ทำให้เม็ดแป้งสามารถควบคุมการดูดน้ำและพองตัวได้ดีแม้อุณหภูมิจะเพิ่มขึ้น และการเพิ่มเวลาที่ใช้ในการเกิดปฏิกิริยาเชื่อมขาวทำให้กำลังการพองตัวที่อุณหภูมิต่างๆ ของตัวอย่างแป้งลดลง ทั้งนี้เพราะแป้งตัดแยกที่เกิดปฏิกิริยาเชื่อมขาวระหว่างโมเลกุลตัวยังผันสะโควาเลนต์ของหมู่ฟอสเฟตมากจะมีโครงสร้างของเม็ดแป้งที่แข็งแรง จึงสามารถควบคุมการดูดน้ำและพองตัวได้ดี จากการวิเคราะห์ความแปรปรวนทางสถิติ พบว่า เวลาที่ใช้ในการตัดแยกประเมินผลทำให้กำลังการพองตัวของตัวอย่างแป้งไอกrogกี้โพร์พิลไดสตาร์ชฟอสเฟตที่อุณหภูมิ 65° , 75° , 85° และ 95°C แตกต่างกันอย่างมีนัยสำคัญทางสถิติ (ที่ระดับความเชื่อมั่นร้อยละ 95) (ภาคผนวก ๔ ตารางที่ 18-18) นอกจากนี้ระดับการแทนที่ของหมู่ไอกrogกี้โพร์พิลมีผลทำให้กำลังการพองตัวที่อุณหภูมิ 65°C ของตัวอย่างแป้งตัดแยกที่ได้แตกต่างกันอย่างมีนัยสำคัญทางสถิติ เมื่อเปรียบเทียบกับกำลังการพองตัวของแป้งไอกrogกี้โพร์พิลก่อนการตัดแยกด้วยปฏิกิริยาเชื่อมขาว (รูปที่ 4.14-4.15) เห็นได้ว่า แป้งไอกrogกี้โพร์พิลไดสตาร์ชฟอสเฟตมีกำลังการพองตัวที่อุณหภูมิต่างๆ ต่ำกว่าแป้งไอกrogกี้โพร์พิล และความแตกต่างของกำลังการพองตัวจะเพิ่มขึ้นเมื่ออุณหภูมิสูงขึ้น แสดงว่า พันธะของหมู่ฟอสเฟตที่เกิดการเชื่อมขาวสามารถทนต่อความร้อนได้ดี ทำให้เม็ดแป้งพองตัวได้อย่างจำกัด ผลที่ได้คล้ายคลึงกับการศึกษาของวนนุช (62) ที่ว่า แป้งไดสตาร์ชฟอสเฟตที่ตัดแยกจากแป้งมันฝรั่งมีค่าต่ำกว่าแป้งมันฝรั่งธรรมชาติ

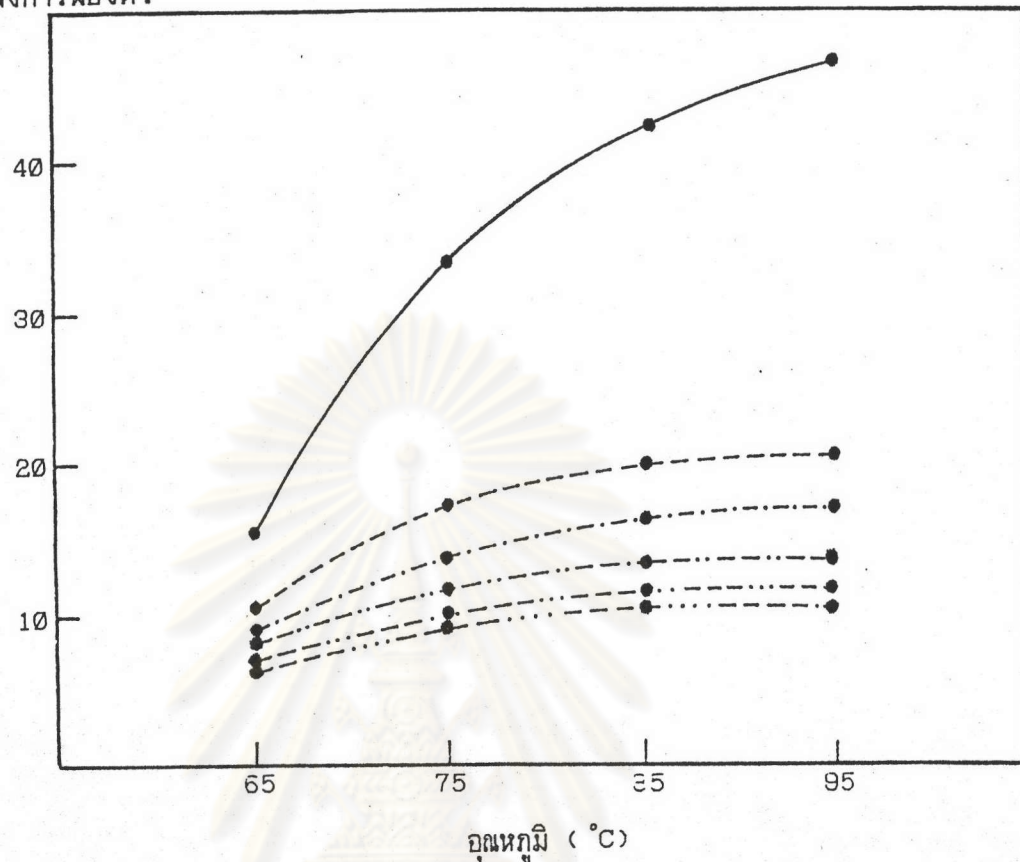
กำลังการพองตัว



รูปที่ 4.14 กำลังการพองตัวที่อุณหภูมิต่างๆ ของตัวอย่างแบงปี้ยดรอคชีโพร์พิลไคส์ตาร์ชฟอลเฟตที่ตัดแบบร้อน แบงปี้ยดรอคชีโพร์พิลที่มีระดับการแทนที่ 0.047 เป็นเวลาต่างๆ เปรียบเทียบกับแบงปี้ยดรอคชีโพร์พิล

- แบงก่อนตัดแบบร้อนบริรยา เชื่อมขาว
- แบงที่ตัดแบบเป็นเวลา 1 ชั่วโมง
- แบงที่ตัดแบบเป็นเวลา 1.5 ชั่วโมง
- แบงที่ตัดแบบเป็นเวลา 2 ชั่วโมง
- แบงที่ตัดแบบเป็นเวลา 3 ชั่วโมง
- แบงที่ตัดแบบเป็นเวลา 4 ชั่วโมง

กำลังการคงตัว



รูปที่ 4.15 กำลังการคงตัวที่อุณหภูมิต่างๆ ของตัวอย่างแบ่งไนโตรออกซิโพริลได้สตาร์ซฟอลส์เฟตที่ตัดแยกจากแบ่งไนโตรออกซิโพริลที่มีระดับการแทนที่ 0.075 เป็นเวลาต่างๆ เปรียบเทียบกับแบ่งไนโตรออกซิโพริล

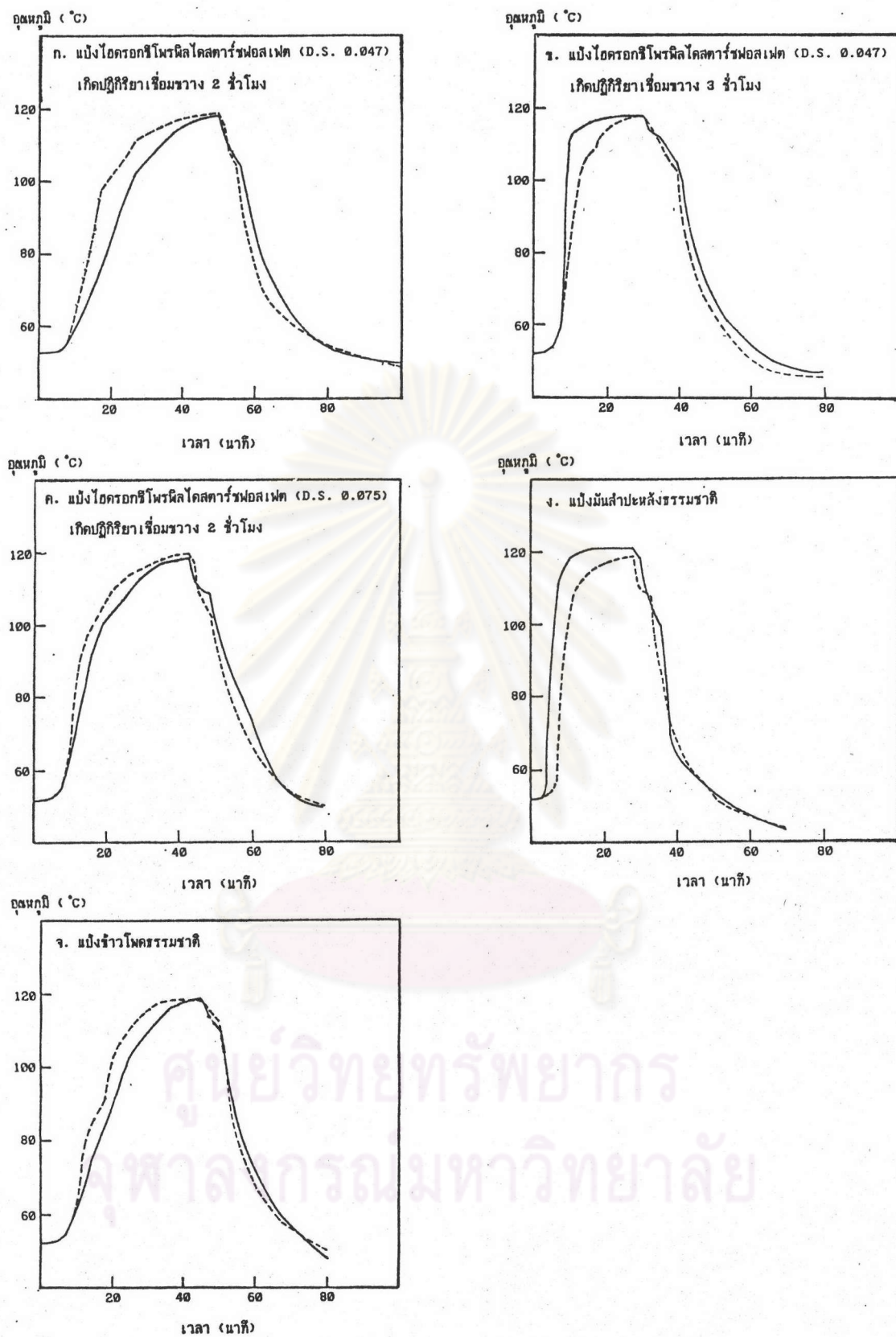
- —————● แบ่งก่อนตัดแยกโดยปฏิกิริยา เชื่อมขาวง
- - - - - ● แบ่งที่ตัดแยกเป็นเวลา 1 ชั่วโมง
- - - - - ● แบ่งที่ตัดแยกเป็นเวลา 1.5 ชั่วโมง
- - - - - ● แบ่งที่ตัดแยกเป็นเวลา 2 ชั่วโมง
- - - - - ● แบ่งที่ตัดแยกเป็นเวลา 3 ชั่วโมง
- - - - - ● แบ่งที่ตัดแยกเป็นเวลา 4 ชั่วโมง

แบ่งที่ใช้เป็นสารให้ความชันหนิดในผลิตภัณฑ์อาหารกระป๋องควรจะดูด้น้ำช้าๆ ก่อนต่อความร้อนและแรงกระทำได้ดี แต่ให้ความชันหนิดสูง ทั้งนี้เพื่อการกระบวนการผลิตอาหารกระป๋องต้องผ่านขั้นตอนการให้ความร้อนสูงสำหรับการห้าม เชื้อและอาจผ่านแรงกระทำ เช่น มีขั้นตอนการกวนผสม การบีบ เป็นต้น ตั้งนี้ Brabender Visco-Amylogram ของตัวอย่างแบ่งไอดรอคิซิโพรพิลไคลสตราชฟอลเฟต (รูปที่ 4.12-4.13) ซึ่งแสดงให้เห็นถึงการเปลี่ยนแปลงของแบ่งในขณะที่ได้รับความร้อนและแรงกระทำ จึงสามารถใช้เป็นแนวทางคัดเลือกตัวอย่างแบ่งที่มีสมบัติเหมาะสมต่อการนำไปใช้เป็นสารให้ความชันหนิดในอาหารกระป๋องได้ โดยจะเลือกแบ่งไอดרוคิซิโพรพิลไคลสตราชฟอลเฟตที่ตัดแยกจากแบ่งไอดรอคิซิโพรพิลที่มีระดับการแทนที่ 0.047 เป็นเวลา 2 และ 3 ชั่วโมง และแบ่งที่ได้จากการตัดแยกแบ่งที่มีระดับการแทนที่ 0.075 เป็นเวลา 2 ชั่วโมง เพื่อศึกษาการใช้เป็นสารให้ความชันหนิดแก่ simulated canned food ในขั้นตอนต่อไป

4.4 การใช้แบ่งไอดรอคิซิโพรพิลไคลสตราชฟอลเฟตเป็นสารให้ความชันหนิด

4.4.1 ความสามารถในการกระจายความร้อนระหว่างการห้าม เชื้อ

จากการศึกษาการกระจายความร้อนใน simulated canned food ซึ่งประกอบด้วย น้ำ น้ำตาล เกลือ และแบ่ง ร้อยละ 90, 3, 1 และ 6 (โดยน้ำหนัก) ตามลำดับ pH 6.50 ± 0.10 บรรจุในกระป๋องขนาด 307X113 มิลลิเมตร 187 ± 1 กรัม โดยใช้แบ่งไอดรอคิซิโพรพิลไคลสตราชฟอลเฟตที่คัดเลือกไว้ในข้อ 4.3.2 เป็นสารให้ความชันหนิดเปรียบเทียบกับแบ่งมันสำปะหลังและแบ่งข้าวโพดธรรมชาติ พบว่า ในระหว่างการห้าม เชื้อที่อุณหภูมิ $121 \pm 1^{\circ}\text{C}$ ตัวอย่าง simulated canned food ที่ใช้แบ่งต่างกันเป็นสารให้ความชันหนิดจะมีการกระจายความร้อนแตกต่างกัน (รูปที่ 4.16) อาจแบ่งเป็น 2 พวก คือ พากแรกทำแน่นทึบอุณหภูมิเปลี่ยนแปลงช้าที่สุดอยู่ที่ระดับ $1/2$ ของความสูงกระป๋อง ได้แก่ ตัวอย่างที่ใช้แบ่งไอดรอคิซิโพรพิลไคลสตราชฟอลเฟตที่ได้จากการตัดแยกแบ่งไอดรอคิซิโพรพิลที่มีระดับการแทนที่ 0.047 และ 0.075 เป็นเวลา 2 ชั่วโมง และแบ่งข้าวโพดธรรมชาติ ส่วนพากที่สองทำ



รูปที่ 4.16 การกระจายความร้อนภายใน simulated canned food ที่ใช้เปิดต่างๆ เป็นสารให้ความชื้นหนึด

— ที่ระดับ 1/2 ของความสูงกระป๋อง
- - - - ที่ระดับ 1/3 ของความสูงกระป๋อง

แผนงที่อุณหภูมิเปลี่ยนแปลงช้าที่สุดอยู่ที่ระดับ 1/3 ของความสูงกระบึ่ง ได้แก่ ตัวอย่างแบ่งไข่ครอกซีโพร์พิลไอลสถาาร์ชฟอลสเฟตที่ตัดแบ่งเป็นเวลา 3 ชั่วโมง และแบ่งมันสำปะหลังธรรมชาติ (รูปที่ 4.16) เมื่อคำนวณเวลาที่ใช้ในการผ่าเชื้อจากอุณหภูมิที่ทำแผนงชิ่งเปลี่ยนแปลงช้าที่สุดโดยการคำนวณค่า Lethal rate ให้ F_0 มีค่าประมาณ 6 ตัวอย่างพวกแรกใช้เวลาในการให้ความร้อนเฉลี่ยประมาณ 40.5-47.5 นาที (ตารางที่ 4.13) และตัวอย่างพวกที่สองก็ใช้เวลาในการให้ความร้อนเฉลี่ย 26.0-30.5 นาที ชิ่งเวลาที่ใช้ในการให้ความร้อนแก่ตัวอย่างพวกแรกกับตัวอย่างพวกที่สองจะแตกต่างกันอย่างมีนัยสำคัญทางสถิติ และคงว่า การกระจายความร้อนในตัวอย่างแต่ละพวกต่างกัน กล่าวคือ กลไกหลักในการกระจายความร้อนของตัวอย่างพวกแรกเป็นการนำความร้อน ส่วนตัวอย่างพวกที่สองเป็นการพาความร้อน ทั้งนี้เป็นเพราะเมื่ออุณหภูมิสูงขึ้นความสามารถในการดูดน้ำของตัวอย่างพวกแรกเพิ่มขึ้นมาก น้ำภายในออกจังลดลงมาก ทำให้ความหนืดสูงขึ้น สำหรับตัวอย่างแบ่งไข่ครอกซีโพร์พิลไอลสถาาร์ชฟอลสเฟตในพวกที่สองสามารถลดความร้อนและแรงกระแทกได้ดี ในระยะแรกของการให้ความร้อนเม็ดแบ่งดูดน้ำได้น้อย ความหนืดของแบ่งจึงทำให้สามารถกระจายความร้อนโดยการพา ส่วนตัวอย่างแบ่งมันสำปะหลังธรรมชาติที่ทนความร้อนได้น้อยมาก เมื่ออุณหภูมิสูงขึ้นเม็ดแบ่งแตกออกง่ายและเร็ว ทำให้ความหนิดลดลง จึงเกิดการกระจายความร้อนแบบการพา

4.4.2 การเปลี่ยนแปลงความหนิดของ simulated canned food ในระหว่างการเก็บ

จากการศึกษาการเปลี่ยนแปลงความหนิดในระหว่างการเก็บที่อุณหภูมิห้องของ simulated canned food ที่ผ่านการผ่าเชื้อตามภาวะในข้อ 4.4.1 ชิ่งใช้ตัวอย่างแบ่งไข่ครอกซีโพร์พิลไอลสถาาร์ชฟอลสเฟต แบ่งมันสำปะหลังและแบ่งช้าว์ฟอร์มธรรมชาติ ที่ความเข้มข้นร้อยละ 6 (โดยน้ำหนัก) เป็นสารให้ความชื้นหนิด วัดด้วยเครื่อง Brookfield viscometer โดยใช้เข็มหมายเลข 5 ที่ความเร็ว 5 รอบต่อนาที พบว่า หลังการผ่าเชื้อ 1 วัน ความหนิดของตัวอย่างที่ใช้แบ่งมันสำปะหลังธรรมชาติที่ทนความร้อนได้น้อยจึงเกิดแตกออกในระหว่างการผ่าเชื้อ

ตารางที่ 4.13 เปรียบเทียบอุณหภูมิและเวลาในการผ่าเชือของ simulated canned food ที่ใช้เป็นต่างๆ ความเข้มข้นร้อยละ 6 เป็นสารให้ความชันหนึ่ง

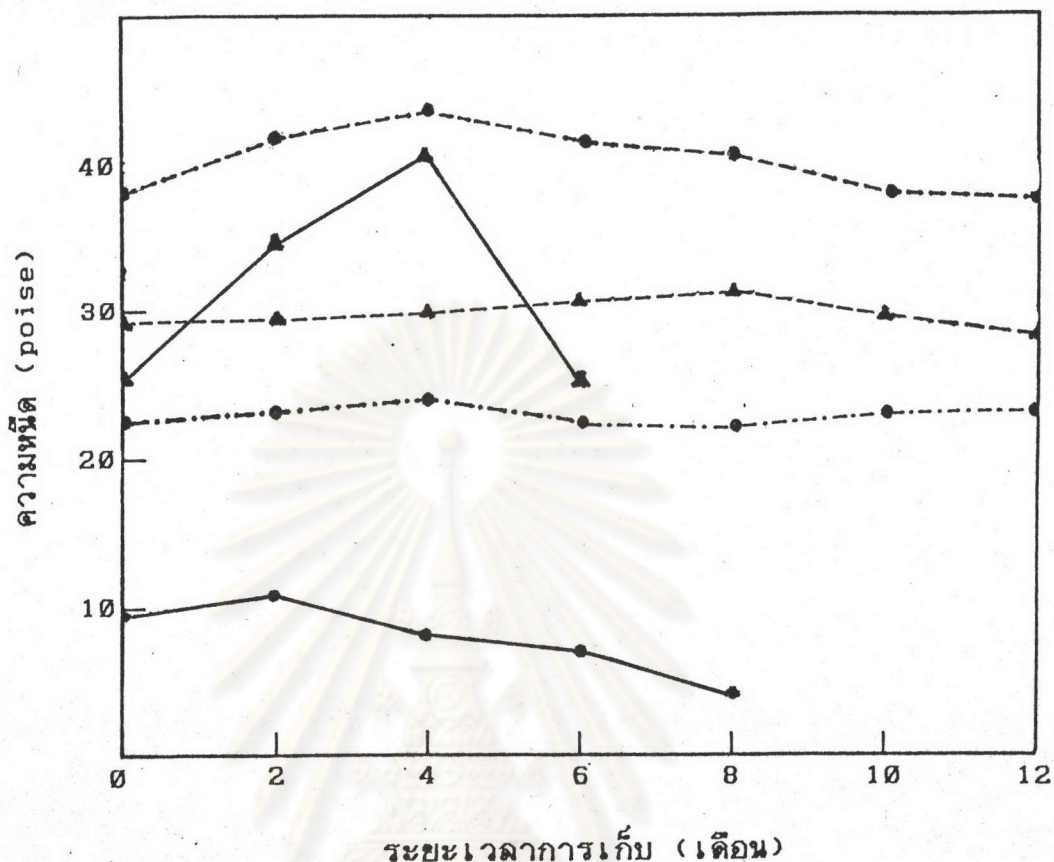
ตัวอย่างเป็น		Temp. เปลี่ยน แปลงข้าวที่สุด	อุณหภูมิ (°C)		เวลา (นาที)		ค่า F ₀ (NS)
D.S.	เวลา		เริ่มต้น	ผ่าเชือ	heating	cooling	
0.047	2	1/2	51.8	121.2	47.5 ^a	40	6.195
	3	1/3	51.4	121.2	30.5 ^b	40	6.104
0.075	2	1/2	51.5	121.3	40.5 ^a	40	6.341
เป็นมันสำปะหลัง เป็นข้าวโพด		1/3	50.0	121.0	26.0 ^b	40	6.258
		1/2	51.8	121.5	42.0 ^a	40	6.294

หมายเหตุ ตำแหน่งการเปลี่ยนแปลงของอุณหภูมิแต่ละตัวอย่าง ศึกษาที่ระดับ 1/2 และ 1/3 ของความสูงกระบี่อง

a และ b ตัวอย่างที่มีอักษรต่างกันจะใช้เวลาให้ความร้อนในการผ่าเชือแตกต่างกัน อย่างมีนัยสำคัญทางสถิติ (ที่ระดับความเชื่อมั่นร้อยละ 95)

(NS) ค่า F₀ ในการผ่าเชือของแต่ละตัวอย่างจะไม่แตกต่างกันอย่างมีนัยสำคัญทางสถิติ (ที่ระดับความเชื่อมั่นร้อยละ 95)

จุฬาลงกรณ์มหาวิทยาลัย



รูปที่ 4.17 ความหนืดของ simulated canned food ที่ใช้แบ่งต่างๆ เป็น
ลารให้ความข้นหนืด หลังการเก็บที่อุณหภูมิห้องเป็นระยะเวลา
ต่างกัน วัดด้วยเครื่อง Brookfield viscometer

- - - - - - 代表 D.S. 0.047 ดัดแปลง 2 ชั่วโมง
- ▲ - - - - - 代表 D.S. 0.047 ดัดแปลง 3 ชั่วโมง
- - - - - - 代表 D.S. 0.075 ดัดแปลง 2 ชั่วโมง
- - - - - - 代表 แม็ปปิ้งมันสำปะหลังธรรมชาติ
- ▲ - - - - - 代表 แม็ปปิ้งข้าวโพดธรรมชาติ

เป็นผลให้ความหนืดลดลงมากและองค์ประกอบมีอิ่มไม่โอลน้อยจึงเกิดการคืนตัวของแบงช้า ทำให้ความหนืดของตัวอย่างต่ำ ส่วนแบงช้าว์โพดแม้ว่าในขณะให้ความร้อนสูงเพื่อฟรีเซ็อจะมีเม็ดแบงบางส่วนแตกออกซึ่งอาจทำให้ความหนืดลดลงบ้าง แต่โนเมลกูลของแบงช้าว์โพดเกิดการคืนตัวเร็วและมาก ความหนืดของตัวอย่างจึงยังมีค่าสูง สำหรับแบงชัยครอกซีโพร์พิลไอลสทาร์ชฟอสเฟตซึ่งมีผันระโควาเลนท์ของฟอสเฟตเชื่อมขวางระหว่างโนเมลกูลทำให้โครงสร้างแข็งแรง ทนต่อความร้อนได้ดี เมื่ออุณหภูมิสูงขึ้นเม็ดแบงสามารถคงด้านเดิมขึ้น ความหนืดของแบงชิงสูงขึ้น

หลังจากการเก็บตัวอย่าง simulated canned food ที่อุณหภูมิห้อง เป็นระยะเวลาต่างๆ ความหนืดของตัวอย่างที่ใช้แบงมันสำปะหลังธรรมชาติจะลดลง เมื่อระยะเวลาการเก็บมากขึ้น (รูปที่ 4.17) ตัวอย่างที่ใช้แบงช้าว์โพดธรรมชาติในระยะเวลาของการเก็บความหนิดเพิ่มขึ้นแต่ก็จะลดลงหลังการเก็บเป็นเวลานานกว่า 4 เดือน ซึ่งตัวอย่างที่ใช้แบงมันสำปะหลังและแบงช้าว์โพดธรรมชาติจะเริ่มสังเกตได้ว่าเกิดการแยกของน้ำออกมาน้ำงหลังจากเก็บเป็นเวลานาน 6 เดือน แต่น้ำจะแยกออกจากมากจนเกิดตะกอนของแบง เมื่อเวลาการเก็บเพิ่มเป็น 10 และ 8 เดือน ตามลำดับ ซึ่งไม่สามารถวัดความหนิดของตัวอย่างได้ต่อไป ลักษณะดังกล่าวนี้จะทำให้ผลิตภัณฑ์เกิดการเสื่อมทางกายภาพ สำหรับตัวอย่างที่ใช้แบงชัยครอกซีโพร์พิลไอลสทาร์ชฟอสเฟตแม้ว่าหลังการผลิตมีลักษณะปราภูมิที่ชุ่นเล็กน้อย แต่ในระหว่างการเก็บที่อุณหภูมิห้องเป็นเวลา 1 ปี ตัวอย่างเกิดการเปลี่ยนแปลงความหนิดและลักษณะปราภูมิอย่างมาก ดังนั้นการใช้แบงชัยครอกซีโพร์พิลไอลสทาร์ชฟอสเฟตเป็นสารให้ความชื้นหนิดแก่ตัวอย่างอาหารประเภท simulated canned food จะทำให้มีความคงตัวในระหว่างการเก็บรักษามากกว่าตัวอย่างที่ใช้แบงมันสำปะหลังหรือแบงช้าว์โพดธรรมชาติ